

# **The physicist of an origin of forces of gravitation and range of S-radiations in whom threats from Space are shown**

V. Korniienko, Academy of diagnostics, Odessa, Ukraine, E-mail: kornie@ukr.net

In article it is experimentally proved that any body has the quantum electromagnetic field which as a result of deformation generates electromagnetic radiations (S-radiations). The S-radiations properties found by us demonstrates that interaction of quantum electromagnetic fields of different bodies causes their mutual attraction which is gravitation forces. Besides, tension which arises in matter of celestial bodies under the influence of gravitation and forces of other origin, cause deformation of the quantum electromagnetic field of these bodies owing to what they generate space S-radiations which have filled all Universe. Therefore there is a range of S-radiations in which we observed how in the summer of 2003 Earth and the Sun were occupied by a power information field which influence causes all global changes. In this range we also watch a space body which from a terrestrial orbit generates powerful S-radiations. Therefore, for the benefit of early identification of threats from Space, it is necessary to develop astronomical observations in a range of S-radiations.

**Keywords:** gravitation, the quantum electromagnetic field, threats from Space

## **1. Introduction**

There is a set of theories which describe gravitational interactions from which the General theory of relativity of Einstein dominates now, [1-3]. Nevertheless, the physics of an origin of forces of gravitation remains unknown.

At the same time, we have for the first time found out that any intense matter generates unknown to science of the radiation (S-radiation) which visually and by means of the existing devices can't be found. The term "intense matter", in physics doesn't exist therefore we have entered him for designation of matter which has the internal tension which has arisen in her for various reasons.

On the basis of the made experiments in article the hypothesis according to which in matter there is an elastic quantum electromagnetic field (QEF) is made. Forms his movement of the loaded elementary particles of which this matter consists that corresponds to provisions of the general theory of relativity, Electrodynamics and Quantum mechanics, [1,4]. In case of emergence in matter of tension, there is a deformation of her QEF therefore it generates S-radiations which are an unknown version electromagnetic energy. Therefore the origin and existence of S-radiations doesn't break the Law of energy conservation that, in relation to the electromagnetic field, is proved in the theorem of Poytinga, (Poynting's theorem), [5].

The experimental proof of this hypothesis is provided in article, and also the physics of an origin space S-radiations which kind are the geopathgic radiations (GR) which existence the science takes not for granted, despite a set of publications about their properties, [6] is shown.

At the same time it is shown that space S-radiations fill all Universe in a huge number that causes existence of a range of S-radiations in which occurring phenomena have the vital value for mankind.

So, in the collection of papers of the World conference on climate change, Moscow, 2003, ours is published messages on what we have found in a range of S-radiations in the summer of the same year as to Earth there has arrived from Space the power information field (EIF). The analysis of its properties has shown that occupation of EIF of Earth and the Sun will

accelerate global climate changes and will worsen health of the population, [7]. As has shown time, this forecast completely was confirmed. Moreover, our further researches give the grounds to believe that influence of EIF causes also growth of number of earthquakes and activity of volcanoes, including the Yellowstone supervolcano. Moreover, in a range of S-radiations since February, 2017 we watch an object from which the powerful S-radiations capable to create problems with health proceed.

In this regard in article development of astronomical observations in a range of S-radiations is offered what will open to science a way to knowledge of dark energy and matter and will allow to take in due time measures for protection of Earth against threats from Space.

## **2. Results of our researches**

### **2.1 Technique**

We used the device to pilot study the GRV-compact which is produced in Russia in lots and is certified for carrying out medical and scientific research. The principle of his work is based on change of the area of electric discharge in the gas-discharge camera of the device at impact of S-radiation on him. However, it is the device of discrete action and with his help to define the location of a source of S-radiations including GI is impossible. Therefore the technique provided participation in experiments of the expert sensor who in a palm determined presence of the S-radiations recognizing from EIF or other objects that allowed to focus the device sensor in the necessary direction by feelings.

However this device in factory completeness doesn't allow to carry out measurements in real time. Therefore we used the law of "sharp edges" according to which S-radiations leave intense matter through her pointed edges. For this reason the wooden ruler had a point, and as a steel sample of matter the chisel having the cutting edge was used.

For the purpose of acceleration of process of researches we have developed to this device the special radiator of S-radiations executed in the form of a copper ring in which one end face is pointed which have established the GRV-compact over the gas-discharge camera of the device. At the same time the point of a ring has been directed towards this camera. The ring has been connected by a screened electric wire to the sensor which represented a plate from beryllium bronze (20x20x0,5 mm).

Measurements were carried out by the device the GRV-compact in the automatic mode. At the same time parameters of the gas category in the camera of the device were fixed by the video camera. Quantity of impulses in a series we established from 30 to 40. Time between impulses – 3 sec. In the presence of sharp deviations in total of selection, 1-2 results were excluded from calculations. Results of mathematical processing of estimates of video filming in the form of charts and tables, were given by the computer connected to the device. They paid off according to the program with use of methods of mathematical statistics and probability theory from 95% confidential probability.

For S-radiation assessment which were generated by a wooden ruler (650 x 20 x 6 mm) as a result of her compression in a vice near one of her ends she had a point in the form of an edge. Point length – 30 mm. The sensor was placed from a ruler at distance about 80 mm in the direction of this point. During the experiment the end of the flat party a ruler, opposite to where there was a point, was clamped in a vice (effort of screwing up of the screw of a vice of-10 N x l). At compression of the range S-radiations left her point which were estimated by the device.

We also estimated S-radiations which I generated steel of a joiner's chisel (150 x 20 x 5 mm) at compression. At the same time the sensor was placed at distance of 80 mm from a chisel edge from where S-radiations proceeded. The chisel contracted in a vice for the party of 20 mm. Moment of a clip of a vice of-10 N x m.

We also estimated S-radiations which generated plates from beryllium bronze (110x28x0,5 mm) which resulted from their bend. For this purpose curved plates have been inserted in a coil opening with an adhesive tape. Sensor distance to plates – 80 mm (from an arrow of a bend of plates).

For an exception of influence of EIF on results of experiments, before each experiment within 1-2 minutes we carried out cleaning of the building of EIF. Broadcasting by means of the tape recorder of an audio recording of mentally said phrase was for this purpose used: "You are absent, doesn't exist, dissipate". It was enough to clear of EIF the room for 30-40 minutes. Control of presence and emergence of EIF was carried out by the expert in feelings in a palm.

For an assessment of S-radiations which generate antennas of cellular communication as the intake the tube from organic glass which diameter made 40 mm with an axial opening with a diameter of 10 mm has been used. At the end of a tube the microphone of magnetolectric system, with a diameter of 6 mm which has been connected to the loudspeaker through the magnetic amplifier has been installed. For an exception of transfer of electromagnetic waves of cellular communication, the loudspeaker, through a magnetic outcome, has been connected by a single-core wire to the ring described above which was established over the camera of the device the GRV-compact.

This tube was established on a support at distance of 30 meters from the antenna of cellular communication and has been aimed at her. Measurements of level of S-radiations which proceeded from antennas of cellular communication were carried out by means of the device the GRV-compact in two modes. First usual operating mode of the antenna. The second – with the connected converter of S-radiations to plugs of food 380V of the workstation of cellular communication which will transform and transmits signals to antennas of cellular communication. The neutralized device has been developed by us on the basis of properties of S-radiations which efficiency was earlier repeatedly checked.

We have developed the directed sensor which differed from described above only by the fact that the tube from organic glass had length of 300 mm, and diameter of an axial opening - 4 mm for astronomical observations.

This sensor was installed on mount from the amateur telescope and by means of the computer program was directed at celestial bodies.

This technique has allowed to receive results of estimates of GRV with data processing on the computer in automatic the mode according to the multiple-factor program. The result gave the computer in the form of charts. From these charts it is possible to calculate the level of S-radiations in decibels as the work 10 on the relation of decimal logarithms of average values of the current and basic values of S-radiations in pixels.

## **2.2 Experimental confirmation of ability of intense matter to generate S-radiations**

Charts of influence of S-radiations which are generated by intense matter, on the area of electric discharge are given in the device, received by processing on the computer of instrument readings according to the multiple-factor mathematical program below.

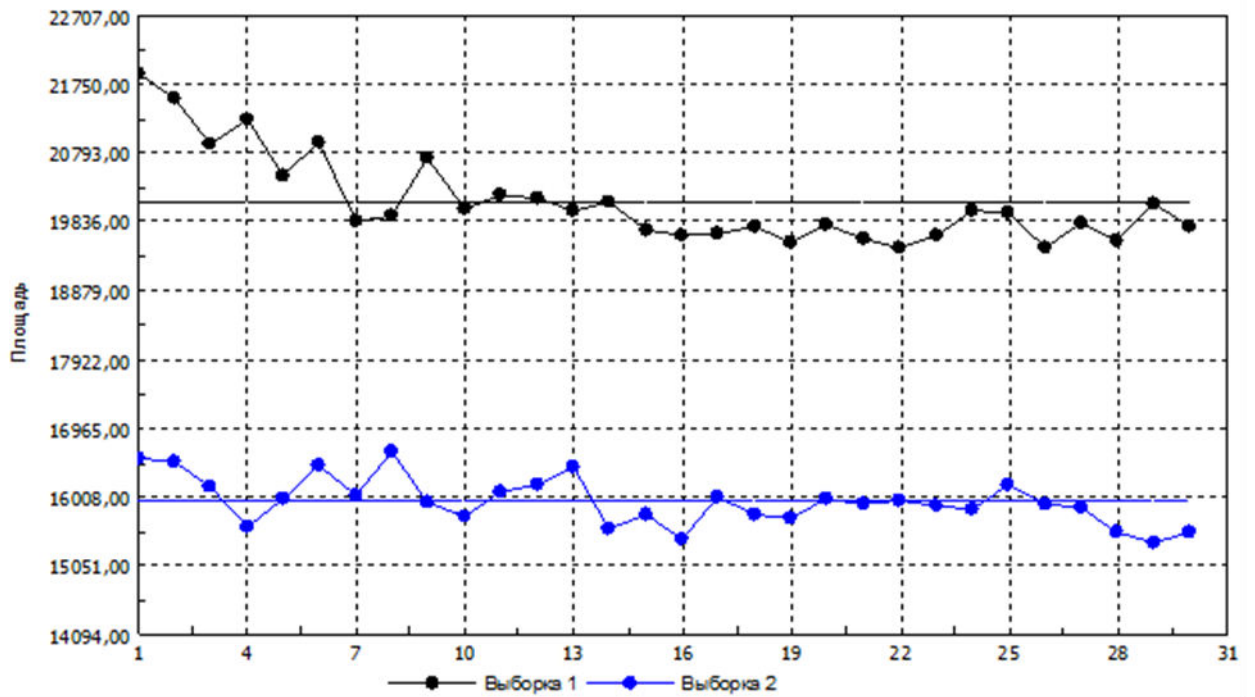
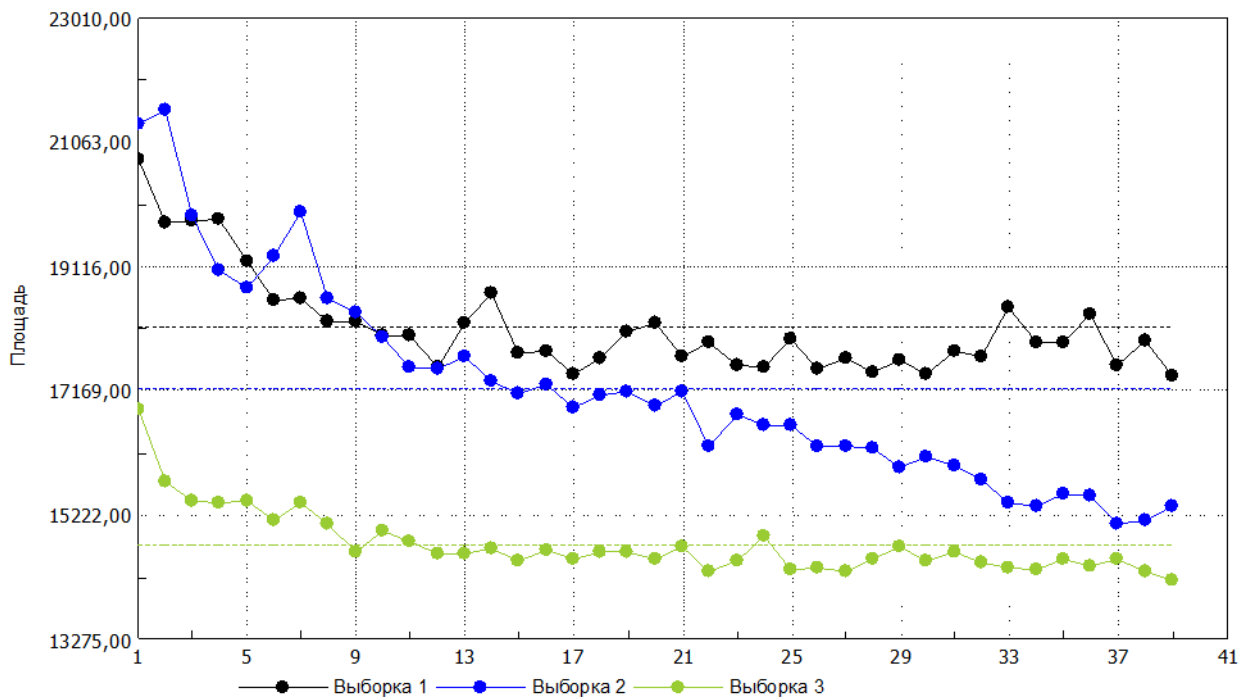


Fig. 1 Change of the area of the gas category in the device the GRV-camera at compression in a vice of a wooden ruler

Where: selection 1 – the pointed wooden ruler is recorded in a vice (without compression); selection 2 – a ruler is compressed in a vice.

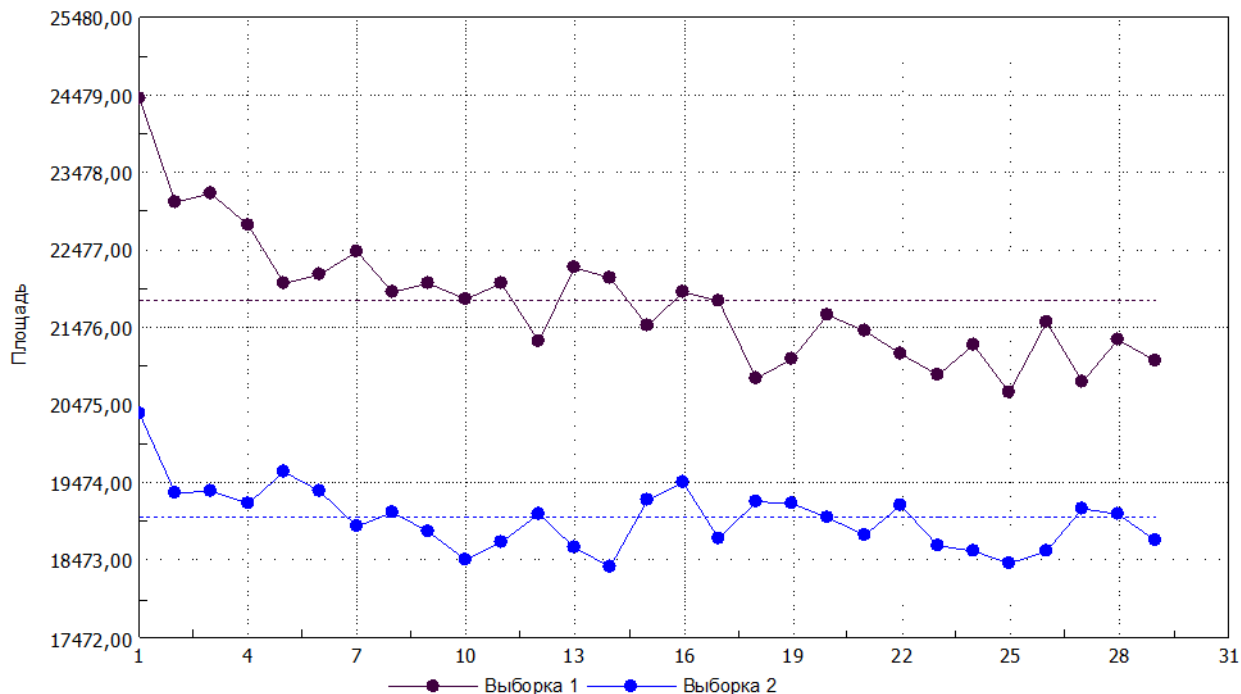
1 charts submitted in fig. demonstrate that as a result of compression of a wooden ruler, her matter generates S-radiations which leave her point.



The fig. 2 Change of the Area of Electric Discharge depending on number of intense plates from beryllium bronze

Where: selection 1 – a background of S-radiations in the building; selection 2 – S-radiations which are generated by matter of one of a curved and zanevolenny plate in such state from beryllium bronze; selection 3 – the same for two plates.

Charts submitted in fig.2 demonstrate that the bend of plates from beryllium bronze generates tension in her matters as a result of which it generates S-radiations.



The fig. 3 Change of the Area of Electric Discharge in the Device under the influence of S-radiations which are generated by matter of a steel chisel

Where: selection 1 - a chisel is recorded in a vice not compressed); selection 2 – a chisel is clamped in a laboratory vice.

Follows from these charts that at compression in a vice of a steel chisel, her matter generates S-radiations which influence reduces the area of electric discharge in the device. These and other results of our researches demonstrate that any intense matter generate S-radiations.

### 2.3. Physics of an origin of S-radiations and touch feelings of the person

In fig. 1 and 2 follows from charts that at deformation of a wooden ruler and plates from beryllium bronze, their matter generates S-radiations. Generates them and a steel chisel in spite of the fact that the moment of her compression in a desktop vice, isn't capable to cause even the most insignificant deformation of the tempered chisel steel.

Therefore to understand the nature of emergence of S-radiations in a chisel, we will mentally imagine matter with the greatest possible increase. At the same time, according to modern ideas of matter, [1], it will turn out that in matter there is nothing. There is an emptiness which insignificant volume is filled by atoms, and all other space is occupied by streams the of charged elementary particles particles which movement, according to laws of electrodynamics, forms matter QEF. QEF occupies matter of all chisel and even goes beyond his limits. At the

same time it, as well as any electromagnetic field, has elasticity. Matter of a vice also possesses elastic QEF therefore at compression in a vice, even before chisel matter deformation, there is a deformation of her QEF. Therefore from him, through the weakest point of this field which the chisel edge is the stream of electromagnetic energy leaves him in the form of S-radiations.

For the same reason, at compression of a wooden line of her QEF generates S-radiations. However, unlike chisel matter, in a line there is also a wood deformation. At a bend of platinum from beryllium bronze of her QEF also generates S-radiations which, in view of absence in point plates, not so concentrated.

In view of the fact that, along with devices we used also touch feelings of experts, we will consider physics of their emergence in a palm of the person regarding legitimacy of application of these feelings in researches. For this purpose we have held testing of students of the Odessa national medical university. At the same time it has turned out that from 100 students only 15% showed high sensitivity in a palm to S-radiations, another 65% felt them, but to a lesser extent. Other 20% have declared that nothing was felt. However, in Odessa there are training courses on which such feelings develop at any person.

The physics of touch feelings is based that S-radiations consist of the electromagnetic energy formed by streams of the loaded elementary particles which are a basis of any matter. Therefore their impact on the person causes changes in matter of his organism at the level of energy of elementary particles of which it consists. Depending on an individual susceptibility, people feels S-radiations as a palm integument in the form of prickings, heat or cold. At the same time if in due time not to take away a palm from a stream of S-radiations, then in a stomach there is rather strong pain. Long influence of S-radiations, causes, as well as from influence of GR, organic changes in matter of an organism and, as a result a serious illness.

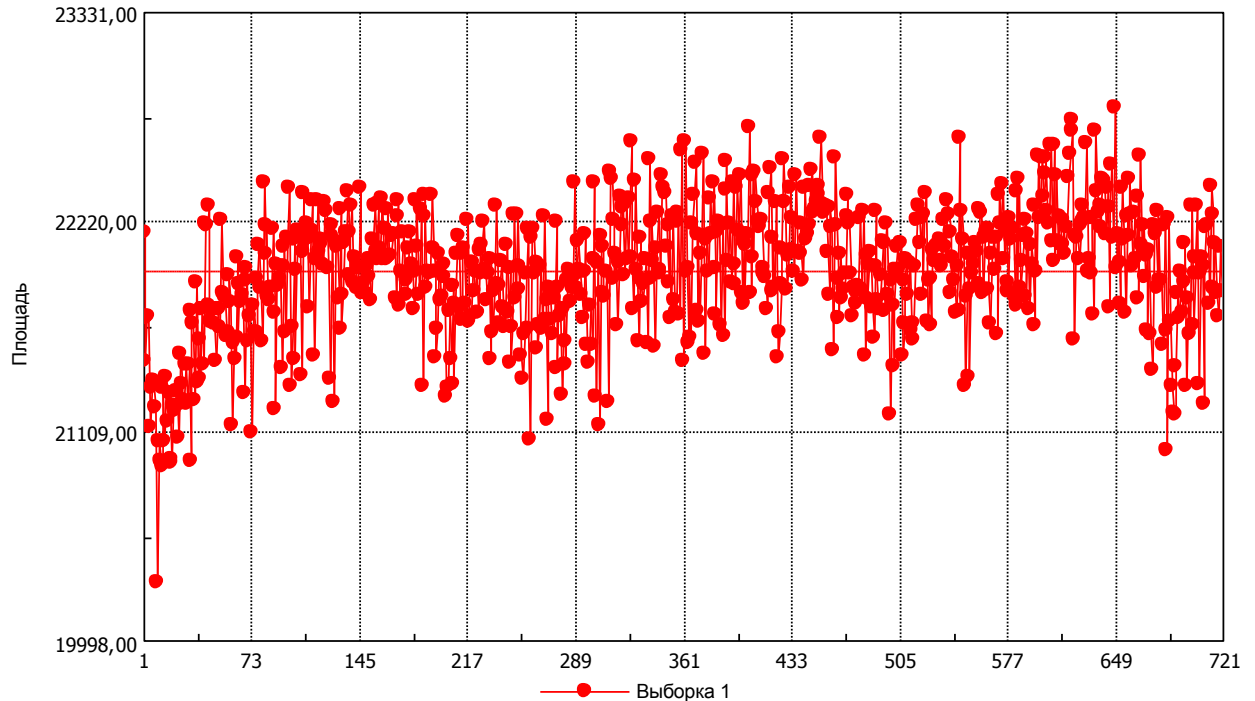
Therefore touch feelings of S-radiations are normal human feeling which reports to an organism about danger and him it is lawful, but is careful, to apply in some types of physical researches.

#### **2.4. Origin of space S-radiations, including GR**

Intense matter is present at the nature everywhere, but in the greatest number of S-radiation Earth in the form of GR which leave from under the earth generates and, through all overlappings of multystoried buildings, leave up. In palms of experts of GI cause the same feelings as S-radiations. Besides, GR, as well as S-radiations, freely pass through any matter. ouch feel we have found out that generate S-radiations also the Sun, the Moon and the closest planets of Solar system what scientists don't know of.

At the same time, it is extremely simple to prove an origin of space S-radiations and GR. For this purpose it is only enough to abstract and remember that any intense matter generates S-radiations, and all celestial bodies are in the orbits only because they are held there by forces of space gravitation. Under the influence of these, and other forces, matter of these bodies tests tension therefore QEF of this matter experiences deformation and generates streams of quantum electromagnetic energy which is space S-radiations. The earth, as well as any space body, is in the same conditions therefore also generates S-radiations which are known as GR. It is also the

proof of physics and an origin of GR and space S-radiations. Also instrument confirmation existence of GR which is shown in fig. 4 is received by us.



The fig. 4 Chart of Influence Energy GR on the area of electric discharges in the device the GRV-compact within 24 hours (an interval between categories-2 of minute)

The minimum dispersion of the areas electric x categories in this chart demonstrates existence energy GR. The wave nature of their change is caused by change in intense matter of Earth as a result of the movement of the Moon on an orbit.

## 2.5 Technogenic S-radiations

The case has helped to open their origin. Once my friend, MD Borodulin S. D., has built a frame pyramid from wooden laths and has asked me to estimate to her power engineering specialist. The pyramid was 2 meters high and had the same proportions, as well as the Egyptian pyramids.

Touch inspection has shown that the space between edges of each of three parties of a pyramid has filled the elastic field of S-radiations which thickness made 40-50 cm. However in the fourth party the field was absent. The reason has turned out that the lath which framed the lower part of this party was shorter, than followed therefore the gap 6-7 cm wide in her frame was formed. After elimination of a gap, in this party of a pyramid there was the same field, as well as in other three. From this it became clear that the field in the parties of a pyramid GR, i.e. terrestrial S-radiations are formed as a result of crossing by their streams. Crossing each of the parties of a pyramid, they direct in laths which frame the parties of a pyramid, streams of S-radiations which circulation causes emergence in the parties of a pyramid of the field of S-

radiations. Therefore, operation of the law of electromagnetic induction of Faraday extends to S-radiations.

It has allowed to make a hypothesis that any electrical machine which has a rotor and the stator is the generator of S-radiations. It is caused by the fact that at rotation of a rotor there are centrifugal forces from which deformation of QEF of his matter results owing to what streams of S-radiations are formed. They cross windings of the stator and induce in them streams of similar S-radiations. For this reason generators of power plants together with electric current develops also S-radiations which together with it are transferred on electric networks to any distances. But in view of the fact that devices for their registration don't exist, this property of electrical machines is unknown to science.

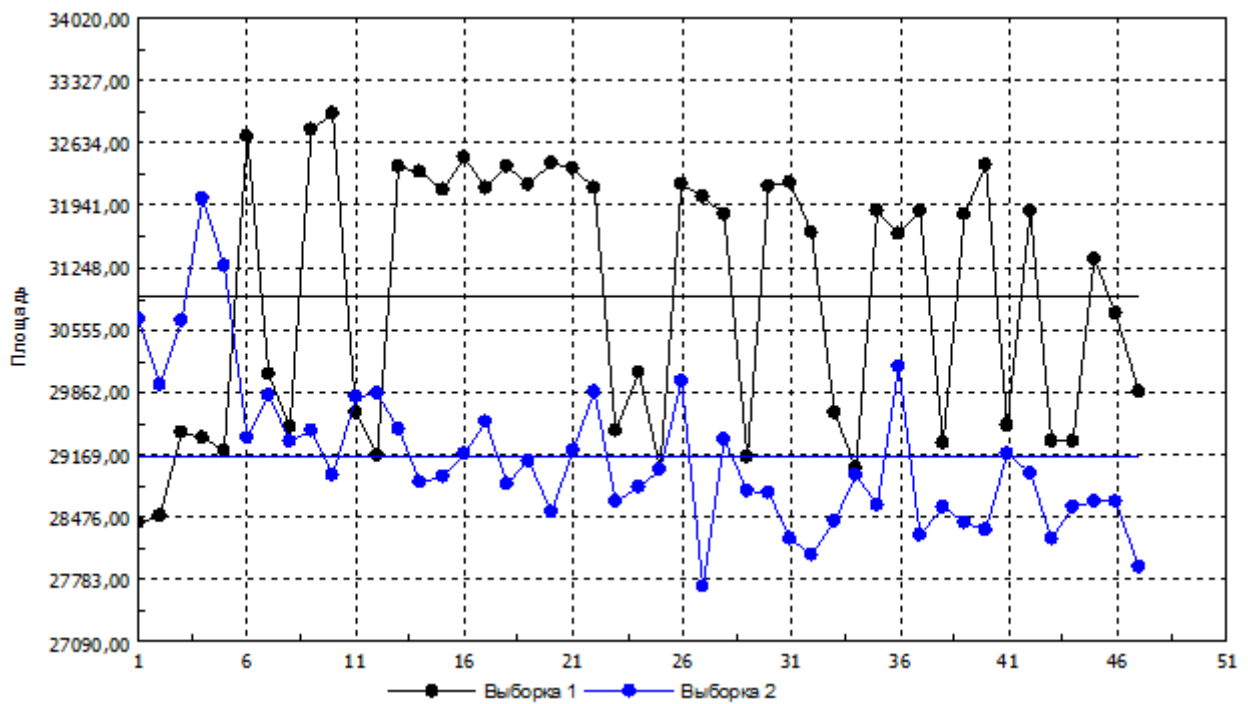
For check of this hypothesis we have replaced a regular rotor in the 1 kW asynchronous electric motor with another. It consisted of the feedwell in which there were packages from curved and the zanevolennykh in such condition of plates from beryllium bronze owing to what they constantly generated S-radiations, [8]. By means of the electric drive we have given to this rotor rotation therefore its S-radiations began to cross windings of the stator and to direct in them streams of S-radiations. Therefore connection of loading to plugs of it, (now the generator of S-radiations), has caused formation of the closed contour for the movement of streams of S-radiations.

By means of this generator we have opened many properties of S-radiations. In particular, have established that they react to semiconductors and condensers the same as electric current. But, under suitable conditions, S-radiations separate from electric current and leave in surrounding to the environment in the form of the steady field of the same name, [8].

These properties demonstrate that S-radiations which are present at electric network will be transformed in devices of cellular communication and in other high-frequency equipment, to high-frequency S-radiations. As a part of radio waves they, according to properties of S-radiations, they go out of antennas of cellular communication pollute the environment high-frequency fields of S-radiations.

For check of this conclusion we have made an experiment on neutralization of S-radiations in the workstation of cellular communication which result is presented in fig. 5. This station has been established on the top floor of the building of the Promsvyaz plant in Odessa to which the antennas of cellular communication installed over a roof of this building are connected.





The fig. 5 Influence of Connection of Converter of S-radiations to network 220/380B on plugs of the workstation of cellular communication on the level of S-radiations which generate antennas of cellular communication

Where: selection 1 – S-radiations which are generated by the antenna of cellular communication after connection of converter; selection 2 – S-radiations which are generated by the antenna of cellular communication without converter

On rice 5 follows from charts that antennas of cellular communication generate powerful S-radiations to the environment (selection 2). However, at connection of S-radiations converter to electric network of the station, influence of S-radiations which are generated by the antenna on the area of the gas category in the device, has decreased (selection 1). This chart demonstrates that antennas of cellular communication generate S-radiations which can be neutralized thus. The dispersion of the provided data is caused by the fact that especially for this experiment we didn't develop converter of S-radiations, and used developed for other purposes. Nevertheless, the charts provided on fig. 6 demonstrate that antennas of cellular communication generate S-radiations which pollute the environment.

Come to household refrigerators S-radiation together with electric current, at the same time they are in addition developed by also refrigerating unit. These S-radiations pass through walls of the refrigerator and packing and are absorbed in products. For an assessment of their influence on tastes of products have been carried out interdepartmental comparative tests of products which were stored in two refrigerators, our device has been connected to one of which. The conclusion of all 4 commissions, each of which consisted of 10 qualified tasters, have shown that connection to the refrigerator of the device which neutralizes S-radiations improves taste of the products which are stored in him almost by 3 times in comparison with the same products from the control refrigerator, [9]. We didn't carry out influence of consumption of products which are sated with S-radiations in the refrigerator. But researchers have established long ago that under the influence of GR there are various diseases, [6]. At the same time the origin of GR

and S - radiation has the identical nature therefore consumption of products of their refrigerators definitely promotes developing of diseases.

For the same reason any physiotherapeutic and massage equipment, and also computers, mobile phones, TVs, etc. generate S-radiations, not only pollute them the environment, but also cause developing of diseases.

## **2.6 Properties of S-radiations**

The researches conducted including by means of ours generatorass-radiations, have allowed to open their many properties. Only some of them which are related to article subject are given below:

2.6.1. S-radiations are a version electromagnetic energy which isn't registered by the devices existing in electrical equipment;

2.6.2.S-radiations are capable to transfer in the structure heat, and also information which influences a condition of matter (health of the person), [10];

2.6.2. S-radiations interact with the field of a permanent magnet which carries away them in a circulation, as magnetic power lines, but he will be spaced from a magnet at much bigger distance, than magnetic power lines.

2.6.3. Presence at electric network of S-radiations are caused that in the course of magnetization of magnetic materials the permanent magnet which has not only well-known magnetic field, but also QEF is formed. At the same time this field exists in parallel and independently from each other.

## **2.8. Physics of forces of gravitational interaction**

It has been shown above that any matter possesses QEF. At the same time, the Universe is filled with matter both visible, and dark which share makes 95%, [11]. At the same time it is established that the speed of distribution of gravitation is close to infinite, [12]. It follows from this that a mustache of QEF of matter of the Universe are united in the uniform elastic quantum electromagnetic field. In this case gravitation is transferred instantly, approximately the same as water in water taps appears along with inclusion of a latch at the pump station which is for one hundred kilometers from the city. With that difference that waves of quantum electromagnetic energy which perceive elastic QEF of her matter are transferred in our case on the Universe. Therefore, in the power plan, the Universe represents a uniform organism in which gravitation is transferred due to elasticity her to QEF, and her speed can quite be estimated in millions of light years.

As for an origin of forces of gravitation, judging from the fact that a basis of QEF is the movement of elementary particles of matter, these forces differ in nothing from those forces which hold matter together. At the same time carriers of forces of gravitation are counter flows of electromagnetic (quantum) energy between bodies.

So, for example, it is widely known that to an integument of many people as if spoons, irons and other products made their not magnetic materials stick. Physicists doesn't comment on

it in any way. But in the light of presence at financially body of QEF, it becomes clear that in this case there is an interaction of QEF of a body of the person and QEF of a subject which attracts these objects. It is also manifestation of forces of gravitation in micro scale. Celestial bodies have much more powerful QEF therefore also the attraction between them is much stronger.

This general explanation of physics of forces of gravitation which keeps within a Coulomb's law framework. Nevertheless, it gives a concept about the principle of operation of UFO aircraft in which gravitation forces are used that allows to start design of aircraft with use of these forces.

At the same time the reason for which gravitation works only for an attraction of bodies will become clear after the quantum mechanics deals with the theory of the mechanism of interaction of the loaded elementary particles which provides integrity of matter.

## **2.7 Power information fields and their origin**

In the fall of 2002 we have touch feel found far in Space area which was sharply allocated against the background of night with the S-radiations. She quickly grew and in the summer of 2003 has arrived to Earth in the form of the huge EIF. On arrival, the main part of EIF has left to the north. But near Odessa from him three fields on 10 km in the diameter and 1,5 km high have separated. Soon they were divided into EIF which diameter didn't exceed 1,5 km. In month and this field were divided into smaller EIF which diameter didn't exceed 30 meters which clusters and quite purposefully scattered in different directions across all Eurasia and, presumably, on all Earth. They I hanged at antennas of cellular communication at distance of 40-50 meters and thin beams absorbed from them S-radiations. At the same time they didn't forget to absorb beams through any the floor of buildings of S-radiation from people and household appliances. Power of this absorption was then such is that she caused dizziness in many. But this people didn't feel absorption, and to take cover from EIF there was no opportunity. [7,13]

Then we have established that if towards EIF which hangs over the house, mentally to say the phrase: "You are absent, doesn't exist, dissipate", it instantly departed. Therefore we have come to a conclusion that EIF are an invisible high-organized form of extracellular life. We have recorded this phrase with the tape recorder and since then we apply her broadcasting to cleaning of the building of EIF.

Arrival of EIF to Earth was marked by the fact that within August, 2003 in Paris and in the north of Italy, over 70 thousand people have died. On TV then showed how corpses of people on streets of Paris collected in trucks. But the science has decided that they have died from the 40th-degree heat which stood at this time. A cause of death of these people – warmly vascular insufficiency. However EIF properties suggest that death of people has occurred because of absorption of energy from them. The heat has only relaxed people that has allowed EIF which at that time had diameter of 1,5 km, without limit to absorb from them energy, as was the reason of cardiovascular insufficiency. But the tragedy this mass death of people didn't become since generally needy sectors of society have died.

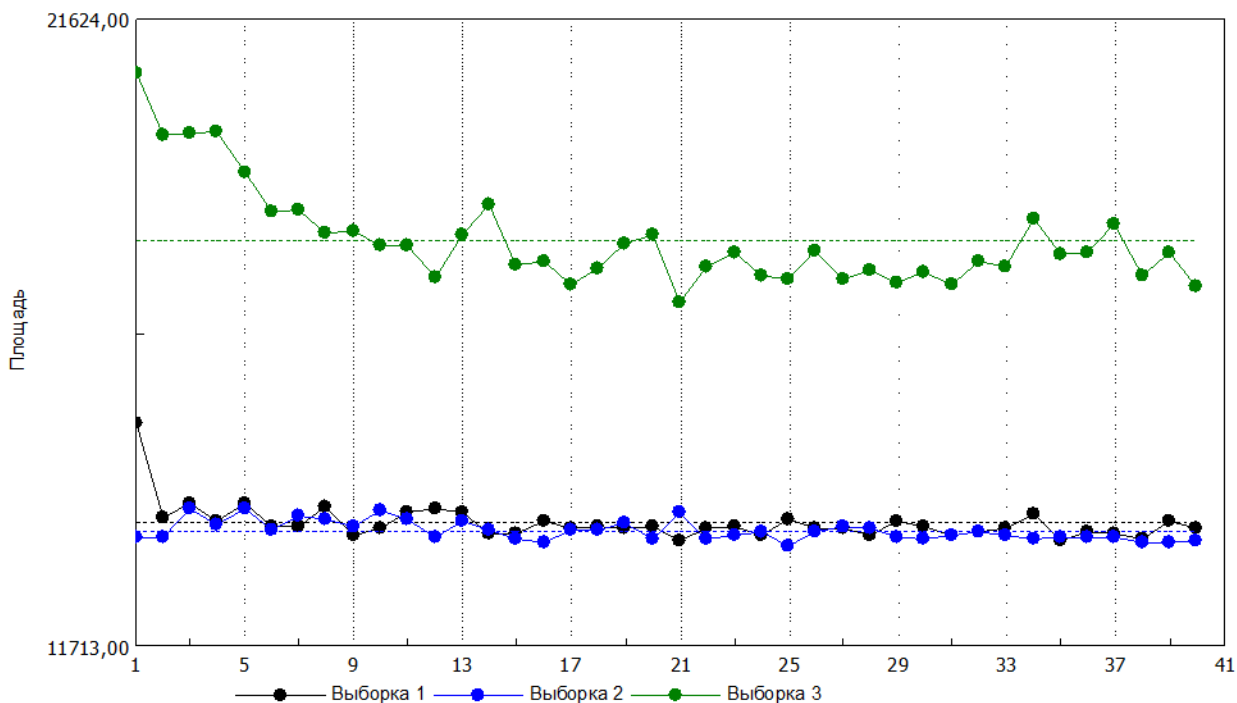
By the end of 2004 of EIF have fallen from the atmosphere and occupied buildings and transport. Since then and the present mankind lives in the environment of this field which

absorbs from them energy because of what many people then complained of a sleep disorder and dizziness. But, gradually this absorption became dosed and the condition of people was stabilized. After EIF have merged with GI from where they absorb energy therefore GI beam focus, i.e. his most intensive part, has disappeared. At the same time the level of energy of GI became indistinguishable from a building background which as a result of this occupation, has raised. Now it is easy to find this occupation by means of a biolocational frame and the audio recording mentioned above. The matter is that after occupation, the frame has ceased to react to GI and with her help it is impossible to define GI locations now. Earlier, before emergence on Earth of EIF, the frame behaved as follows: at her approach to GI beam she deviated in one of the parties. At the time of crossing of the center of a beam, the frame deviated to the opposite side. When crossing border of a beam, the frame reverted to the original state.

Now, owing to existence in the building of EIF, at approach of a frame to GI beam, she deviates only in one of the parties and remains in such situation constantly.

However, if to clear the building of EIF by means of broadcast of the frightening-off record, then the biolocational frame begins to work at once as before occupation of the building of EIF. It also demonstrates existence in the building of EIF.

It is possible to establish the fact of occupation of EIF of the building also by means of the device the GRV-compact. So, on fig. 6 the chart which confirms the fact occupation of EIF of the building is provided. For this purpose we have applied cleaning of the building with way broadcast of the frightening-off record and an assessment with the device the GRV-compact of level of energy of EIF and GR.



The fig. 6 Influence of Cleaning of the Building from EIF and GR on a background of S-radiations in the building

Where: selection 1 – the level of a background of the building and GI before cleaning of EIF; selection 2 – the GR level after cleaning of the building of EIF; selection 3 – building background level after cleaning of EIF.

In fig. 6 follows from charts that before cleaning of the building of EIF, the background of its S-radiations (selection 1), merged with GR. However, after cleaning of the building of EIF there was a sharp decrease in level of a background of the building therefore his power engineering specialist improves (selection 3), but at the same time the GR level was left without changes (selection 2).

This chart demonstrates that the building has been occupied by EIF which absorbed energy from GR. Therefore the level of a background of the building has increased, and the environment in the building became adverse for the person. After cleaning of the building of EIF influence of a background of the building on the area of electric discharge I have decreased that demonstrates that in him there are no EIF, and the environment became favorable for the person.

Before arrival of EIF the level of activity of the Sun was very high. However to fall of 2003 it has decreased to unprecedentedly low level and since then so far remains invariable. At the same time, according to data of NASA, the 24th solar cycle becomes the weakest for the last 100 years, [14]. Therefore, EIF occupied not only Earth, but also the Sun.

## **2.8. Consequences which were caused by occupation of EIF of Earth and the Sun**

### **2.8.1. Changes in the Sun**

After 2003 activity of the Sun has sharply decreased and since then remains at unprecedentedly low level that scientists state and state in this respect gloomy forecasts.

At the same time, we have touch feel established that after 2003 the crown of the Sun has begun to generate ring waves of solar S-radiations as a part of which there is a high-temperature deep solar heat. Up to 2016 these waves went with a frequency of 6 waves a minute and reached Earth in 30 seconds. That is their speed exceeded velocity of light 16,7 times. However the measurements which are carried out on April 2, 2017 have shown that the speed of these waves has sharply decreased, and doesn't exceed velocity of light any more, and width of the front of a wave has increased several times. At the same time at all distance from the Sun to Earth 3 waves are located, the front of each of which is approximately equal to distance between waves, and temperature of solar heat which they transfer has decreased several times and became hardly notable.

I don't comment on this information, in hope that astronomers will give her an assessment regarding connection of these waves with acceleration of thawing of polar ice. If it is required, then such observations can be carried out by means of the device, by the technique given in article.

### **2.8.2. Influence of EIF on global changes on Earth**

2.8.2.1. State of health of people. Our observations demonstrate that living conditions for people on Earth from the moment of arrival of EIF have worsened because there were autonomous EIF, with a diameter of 15-20 cm. They have property to suck away from the person vital for him

energy that is capable to cause severe pains in any body, or drowsiness and deterioration in the general health. Therefore the number of cancer and warmly vascular diseases grows. Besides, many people feel cold and painful damages of skin in a bed. However, if to banish this EIF, then these feelings at once pass.

2.8.2.2. Thawing of polar ice. It was mentioned above that EIF suck away energy from GR. At the same time, our researches have shown that the permanent magnet has property to create the field which has property to reflect streams of similar energy, (item 2.6.3) from S-radiations. Taking into account that the science accepts a permanent magnet as model of magnetic field of Earth, it becomes clear that magnetic field of Earth in an upper atmosphere forms a layer which reflects space S-radiations of GR energy. Therefore, the suction of EIF of energy from GR causes deficiency of these energy in a protective layer of Earth. Therefore his reflective ability decreases therefore space S-radiations pass through this layer. However magnetic field of Earth captures them and pumps over through planet poles. For this reason near poles of the planet concentration of space S-radiations has increased and I became approximately such, so in A.Golod's pyramid. In this pyramid because it, in fact, is a trap for GR, [10], concentration of S-radiations therefore water loses property to freeze in any frosts, [15] grows. For this reason polar ice thaws that affects global climate, and also global sea level increases.

2.8.2.3. Growth of number of earthquakes and explosions of volcanoes. We have developed a method of search of hydrocarbons (HC) in space pictures in a range of S-radiations. He has allowed to find near Earth poles huge fields of HC in which there is a synthesis of HC from sea water under the influence of space S-radiations. These fields leave vertical deep breaks of crust on which, as on tunnels, enormous volumes of HC migrate to the equator. On the way they cross all known fields of HC, and also seismically dangerous zones and volcanoes. At this HC deeply get in jointed mountain breeds where they are heated by heat of Earth that creates conditions for the HC transformation to explosives. Their explosions also cause growth of number of earthquakes and explosions of volcanoes, including activity of the Yelloustronsky volcano which feeds yo19 tunnels at once yours faithfully grows. While in usual volcanoes of HC about 1-3 tunnels migrate.

From stated above it is possible to draw a conclusion that arrival of EIF has caused many disasters.

## **2.9. What has attracted EIF to Earth and in the Sun?**

Such question has arisen by itself because as a part of only our galaxy there are from 200 to 400 billion stars, and the Solar system is on its periphery. Therefore probability that EIF could casual arrive on Earth and the Sun is insignificant is small. Therefore, something has attracted him to us. Therefore we have made small investigation.

EIF has arrived to the region of Odessa Bay on the other side of which, in Yevpatoriya, there is a radio station of long-distance space communication. Therefore we have asked the management of this radio station a question – the radio station signals to the area of the constellation of Bootes where we have for the first time found EIF broadcast them. We were answered that is valid, to this area of Space this radio station 2 times, by request of one American firm which financed broadcasting with an appeal to respond to brothers on reason. The

first broadcasting has taken place in 2001, and the second in May, 2003, before the arrival of EIF.

Thus, it became clear that signals of this radio station served as a beacon for EIF on which these have arrived "brothers on reason". According to SETI, this firm soon left business.

Judging by our observations, on Earth of EIF nothing, except a suction of energy, interests. It doesn't come into contacts, but understands thoughts of the person. Their purpose isn't extermination of mankind because, judging by events in Paris, it could destroy him in 2003. However, activity of EIF which happens at the quantum level of matter, causes change of an environment on Earth, up to catastrophic.

## **2.10. Relevance of astronomical observations in a range of S-radiations**

As it has been proved above, all celestial bodies generate space S-radiations that indicates expediency of astronomical observations in this range. First of all it will allow to reveal in due time approach of objects which can't be observed visually and the existing devices. Bright example for that occupation of Earth and Sun EIF.

Besides, we have found out that, since the middle of February, 2017 in Odessa, Ukraine, right after sunset, from Space, from the West (an azimuth of 250 degrees) there is a stream of S-radiations it is unknown origins which goes in the beginning at an angle 30-35 degrees to the horizon. Gradually this source of S-radiations rises over the horizon and by 7 in the morning it appears in a zenith. At the same time his azimuth doesn't change. Therefore, this source is in an orbit of Earth and generates powerful S-radiations which are capable to exert negative impacts on human health.

It is easy to determine coordinates of this object in a range of S-radiations that, perhaps, will allow to take the appropriate measures of safety. For example, if this object is new EIF, then he can quite be banished in the way broadcast of information in a range of S-radiations which will force him to go back home.

In a range of S-radiations it is possible to watch the known celestial bodies also. For example, we have carried out an assessment of level of S-radiations which generate stars of Betelgeuse and Polluks, and also Long. Results of these measurements are shown in fig.7

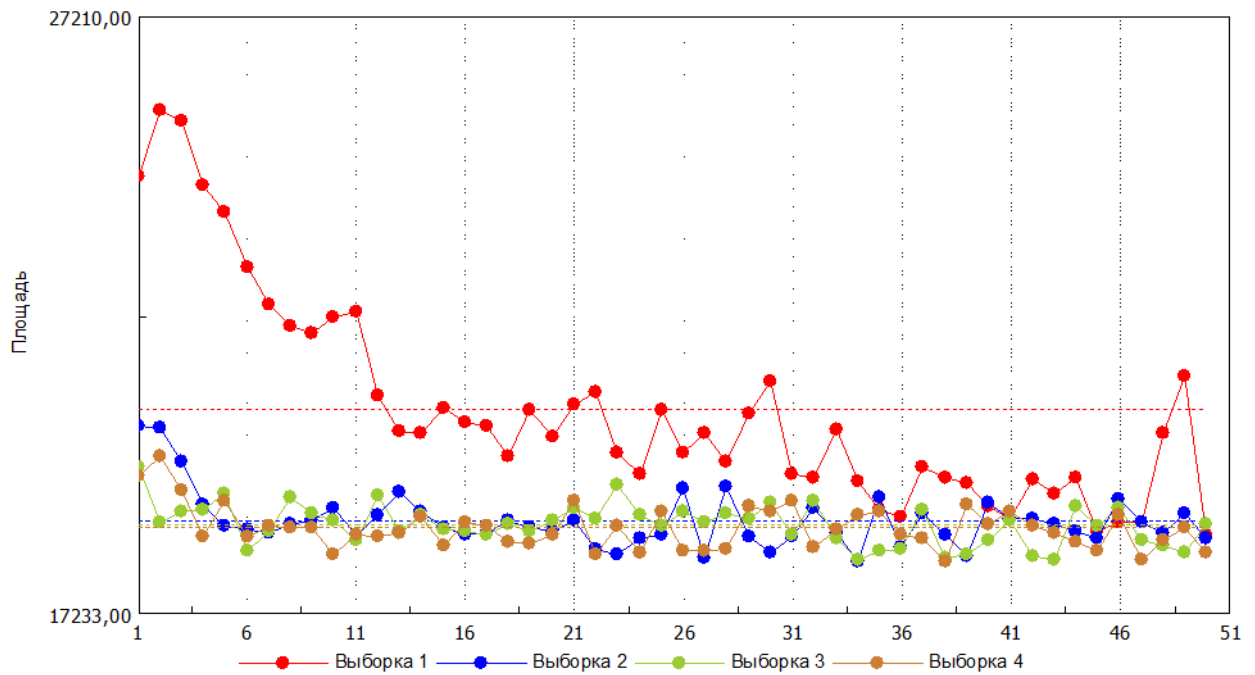


Fig. 7. Charts of influence of S-radiations which proceed from celestial bodies, on the area of electric discharge in the device with an interval 3 sec.

Where selections are shown: 1 - The area of the constellation of the Aries which has been chosen as a background; 2 – star of Betelgeuse; 3 star of Polluks; 4 – Moon.

At the choice of objects for an assessment we were guided by the following:

1. The area of the constellation of the Aries, has been accepted as a basic background, in a type of the fact that there few visible large stars;
2. Astronomers are disturbed by the fact that the huge star of Betelgeuse to which distance makes 620 thousand light years has blown up, or will soon blow up that can constitute danger to mankind.
3. The choice of a star of Polluks which is from Earth at distance 33,7 light years is caused by that, it is one of the brightest stars which were visible during measurements.
4. The moon – the fact that at this time there was a full moon when the level of its S-radiations maximum.

Follows from these charts also that the level of S-radiations which generate these celestial bodies identical, despite big differences of power and of distance to Earth. At the same time, judging by feelings in a palm, from a star of Betelgeuse there are strongest S-radiations from which background occupied about 70 degrees of a sky while a background from other celestial bodies – not further 5 degrees. It confirms the statement stated earlier that in the atmosphere there is a layer which reflects and levels the level of space S-radiations.

Therefore exact observations in a range of S-radiations should be carried out from Space.

## Conclusion



The experimental proofs of existence provided in article in QEF matter have allowed:

1. to open physics of an origin of forces of gravitational interaction that allows to start design of UFO aircraft;
2. to establish an origin of GR and space S-radiations;
3. to open that only elimination on the basis of standards of emission from the equipment of S-radiations will allow to stop further deterioration in human health, ecology, climate, to reduce number of earthquakes and explosions of volcanoes;
4. to show that the main health hazard of people in Space is constituted by anthropogenic and space S-radiations from which they need to be protected;
5. to prove existence of a range of S-radiations in which astronomical observations allow to watch dark energy and dark matters that will allow to reveal in due time threats for mankind which can't be established by other methods of observations;
6. to understand that broadcasts of radio stations of long-distance space communication to respond to brothers on reason are capable to attract life forms which are capable to destroy mankind

**Thanks.** The author expresses gratitude to astronomers, doctors of physical and mathematical sciences V. G. Karetnikova. and Ya. S. Yatskiva for assistance in observations of EIF and remarks which have been considered by preparation of this article.

### **Literature**

1. Hilbert D. Die Grundlagen der Physik//Nachrichten K. Gesellschaft Wiss. Gottingen, Math. - phys. Klasse, 1915, Heft 3, S. 395
2. Vizgin V. P. Uniform theories in the 1st third of the 20th century M.: Science, 1985. — 304c.
3. Moffat, J. W. (2005a) Gravitational theory, galaxy rotation curves and cosmology without dark matter, [http://arxiv.org/PS\\_cache/qr-qg/pdf/0412/0412195.pdf](http://arxiv.org/PS_cache/qr-qg/pdf/0412/0412195.pdf)
4. Landau L. D., Lifshits E. M. Theoretical physics: Studies. пособ.: For higher education institutions. In 10 t. T. 2 Theory of the field. — 8th prod., crepeot. — M.: FIZMATLIT, 2001. — 536 with
5. Electromagnetism. Basic laws, I. E. Tyrants (2014)
6. A.P's oak groves. Terrestrial radiations and health of the person. Arguments and facts. Moscow, 1992, 57 p.
7. V. G. Korniyenko. Reason of climate change and ways of her elimination//Theses of reports of the World conference on climate change. Moscow, 29 Saint.-3 okt.2003, page 509 (Ru).
8. V. G. Korniyenko. S-radiations of mobile phones//Eniologiya. No. 4 2005. page 81-86.

9. V. G. Korniyenko, I. N. Krasnovsky, S. M. Kudashov. To a question of improvement of taste of the products which are stored in refrigerators//the Dairy case No. 7 2007 p. 22-25
10. V. Korniyenko. The radiations causing diseases. Publishing house Kiev un-that, 2002. (148 p.)
11. Reshetnikov V. Why sky dark. As the Universe is arranged. Chapter 2.5. The hidden weight in the Universe. — Fryazino: Century 2, 2012.
12. P. S. Laplace Mecanique celeste, 4, livre X Paris, 1805.
13. Korniyenko V. G. The environmental disaster caused by growth внеклеточных.//Hygiene of the inhabited places. Institute of hygiene and medical ecology of O. M. Marzeev of Academy of medical sciences of Ukraine. Release 46. 2005. page 547-554.
14. About solar activity of <http://www.vseneprostotak.ru/2011/06/nasa-u-solntsa-padenie-solnechnoy-aktivnosti/>
15. Why water in A.Golod's pyramid doesn't freeze?  
<https://otvet.mail.ru/question/187551682>

## **Физика происхождения сил гравитации и спектра S-излучений, в котором проявляются угрозы из Космоса**

**В.Корниенко, Академия диагностики, Одесса, Украина, E-mail: kornie@ukr.net**

В статье экспериментально доказано, что любое тело имеет квантовое электромагнитное поле, которое в результате деформации генерирует электромагнитные излучения (S-излучения). Обнаруженные нами свойства S-излучения свидетельствуют, что взаимодействие квантовых электромагнитных полей разных тел обуславливает взаимное их притяжение, которое является силами гравитации. Кроме того, напряжения, которые возникают в материи небесных тел под воздействием гравитации и сил иного происхождения, вызывают деформацию квантового электромагнитного поля этих тел, вследствие чего они генерируют космические S-излучения, которыми заполнена вся Вселенная. Поэтому существует спектр S-излучений, в котором мы наблюдали, как летом 2003 Землю и Солнце оккупировало энергоинформационное поле, воздействие которого обуславливает все глобальные изменения. В этом спектре мы также наблюдаем за космическим телом, который с земной орбиты генерирует мощные S-излучения. Поэтому, в интересах раннего выявления угроз из Космоса, необходимо развивать астрономические наблюдения в спектре S-излучений.

**Ключевые слова:** гравитация, квантовое электромагнитное поле, угрозы из Космоса

### **Введение**

Существует множество теорий, которые описывают гравитационные взаимодействия, из которых в настоящее время доминирует ОТО Эйнштейна, [1-3]. Тем не менее, физика происхождения сил гравитации остаётся неизвестной.

Вместе с тем, мы впервые обнаружили, что любая напряжённая материя генерирует неизвестные науке излучения (S-излучения), которые визуально и с помощью существующих приборов обнаружить невозможно. Термин «напряжённая материя», в физике не существует, поэтому мы его ввели для обозначения материи, которая имеет внутренние напряжения, возникшие в ней по разным причинам.

На основании проведенных экспериментов в статье выдвинута гипотеза, согласно которой в материи имеется упругое квантовое электромагнитное поле (КЭМП). Образует его движение заряженных элементарных частиц, из которых состоит эта материя, что соответствует положениям СТО, Электродинамики и Квантовой механикой, [1,4]. В случае возникновения в материи напряжений, происходит деформация её КЭМП, в результате чего оно генерирует S-излучения, которые являются неизвестной разновидностью электромагнитной энергией. Поэтому происхождение и существование S-излучений не нарушает Закон сохранения энергии что, применительно к электромагнитному полю, доказано в теореме Пойтинга, (Poynting's theorem), [5].

В статье приводится экспериментальное доказательство этой гипотезы, а также показана физика происхождения космических S-излучения, разновидностью которых являются геопатогенные излучения (ГИ), существование которых наука считает не доказанным, не смотря на множество публикаций об их свойствах, [6].

При этом показано, что космические S-излучения заполняют всю Вселенную в огромном количестве, что обуславливает существование спектра S-излучений, происходящие явления в котором имеют для человечества жизненно важное значение.

Так, в сборнике рефератов Всемирной конференции по изменению климата, Москва, 2003, опубликовано наше сообщением о том, что мы обнаружили в спектре S-излучений летом того же года, как на Землю прибыло из Космоса энергоинформационное поле (ЭИП). Анализ его свойств показал, что оккупация ЭИП Земли и Солнца ускорит глобальные изменения климата и ухудшит здоровье населения, [7]. Как показало время, этот прогноз полностью подтвердился. Более того, дальнейшие наши исследования дают основания полагать, что воздействие ЭИП обуславливает также рост числа землетрясений и активности вулканов, в том числе Йеллоустонского супервулкана. Более того, в спектре S-излучений с февраля 2017 мы наблюдаем за объектом, от которого исходят мощные S-излучения, способные создавать проблемы со здоровьем.

В этой связи в статье предлагается развитие астрономических наблюдений в спектре S-излучений, что откроет науке путь к познанию тёмных энергий и материи и позволит своевременно принимать меры по защите Земли от угроз из Космоса.

## **2. Результаты наших исследований**

### **2.1 Методика**

Для экспериментальных исследования мы применяли прибор ГРВ-компакт, который серийно выпускается в России и аттестован для проведения медицинских и научных исследований. Принцип его работы основан на изменении площади электрического разряда в газоразрядной камере прибора при воздействии на него S-излучения. Однако, это прибор дискретного действия и с его помощью определить место нахождения источника S-излучений, в том числе и ГИ невозможно. Поэтому методика предусматривала участие в экспериментах эксперта-сенсора, который по ощущениям в ладони определял наличие S-излучений, исходящих от ЭИП или других объектов, что позволяло ориентировать датчик прибора в нужном направлении.

Однако прибор этот в заводской комплектности не позволяет проводить замеры в режиме реального времени. Поэтому мы использовали закон «острых кромок», согласно которому S-излучения выходят из напряжённой материи через её заостренные кромки. По этой причине деревянная линейка имела заострение, а в качестве стального образца материи использовалась стамеска, имеющая режущее лезвие.

С целью ускорения процесса исследований мы разработали к этому прибору специальный излучатель S-излучений, выполненный в виде медного кольца, в котором один торец заострен, которое установили над газоразрядной камерой прибора ГРВ-компакт. При этом заострение кольца было направлено в сторону этой камеры. Кольцо было соединено экранированным электрическим проводом с датчиком, который представлял собой пластину из бериллиевой бронзы (20x20x0,5 мм).

Измерения осуществлялись прибором ГРВ-компакт в автоматическом режиме. При этом параметры газового разряда в камере прибора фиксировала видеокамера.

Количество импульсов в серии мы устанавливали от 30 до 40. Время между импульсами – 3 сек. При наличии резких отклонений в совокупности выборки, 1-2 результата исключались из расчётов. Результаты математической обработки оценок видеосъёмки в виде диаграмм и таблиц, выдавал компьютер, подключенный к прибору. Рассчитывались они по программе с использованием методов математической статистики и теории вероятностей с 95% доверительной вероятностью.

Для оценки S-излучения, которые генерировала деревянная линейка (650 x 20 x 6 мм) в результате её сжатия в тисках, вблизи одного из её концов она имела заострение в виде лезвия. Длина заострения – 30 мм. Датчик размещался от линейки на расстоянии около 80 мм в направлении этого заострения. Во время эксперимента конец плоской стороны линейки, противоположный тому, где было заострение, зажимался в тисках (усилие завинчивания винта тисков -10 Н x м). При сжатии линейки S-излучения выходили из её заострения, которые оценивал прибор.

Оценивали мы также S-излучения, которые генерировала при сжатии сталь столярной стамески (150 x 20 x 5 мм). При этом датчик размещался на расстоянии 80 мм от лезвия стамески, откуда исходили S-излучения. Стамеска сжималась в тисках за сторону 20 мм. Момент зажима тисков -10 Н x м.

Оценивали мы также S-излучения, которые генерировали пластины из бериллиевой бронзы (110x28x0,5 мм), которые возникали в результате их изгиба. Для этого изогнутые пластины были вставлены в отверстия катушки со скотчем. Расстояние датчика до пластин – 80 мм (со стороны стрелы изгиба пластин).

Для исключения влияния ЭИП на результаты экспериментов, перед началом каждого эксперимента в течение 1-2 минут мы проводили очистку здания от ЭИП. Для этого использовалась трансляция с помощью магнитофона аудиозаписи мысленно произнесённой фразы: «Тебя нет, не существует, рассейся». Этого хватало, чтобы очистить от ЭИП помещение на 30-40 минут. Контроль присутствия и появления ЭИП осуществлял эксперт по ощущениям в ладони.

Для оценки S-излучений, которые генерируют антенны сотовой связи, в качестве приёмного устройства была использована трубка из органического стекла, диаметр которой составлял 40 мм с осевым отверстием диаметром 10 мм. В конце трубки был установлен микрофон магнитоэлектрической системы, диаметром 6 мм, который был соединён с динамиком через магнитный усилитель. Для исключения передачи электромагнитных волн сотовой связи, динамик, через магнитную развязку, был соединён одножильным проводом с описанным выше кольцом, которое устанавливалось над камерой прибора ГРВ-компакт.

Трубка эта устанавливалась на штативе на расстоянии 30 метров от антенны сотовой связи и была нацелена на неё. Замеры уровня S-излучений, которые исходили из антенн сотовой связи, проводились с помощью прибора ГРВ-компакт в двух режимах. Первый обычный режим работы антенны. Второй – с подключенным нейтрализатором S-излучений к клеммам питания 380V рабочей станции сотовой связи, которая преобразует и передаёт сигналы антеннам сотовой связи. Нейтрализующее устройство было разработано нами на основе свойств S-излучений, эффективность которого ранее неоднократно проверялась.

Для астрономических наблюдений мы разработали направленный датчик, который отличался от описанного выше только тем, что трубка из органического стекла имела длину 300 мм, а диаметр осевого отверстия - 4 мм.

Этот датчик устанавливался на монтировку от любительского телескопа и с помощью компьютерной программы наводился на небесные тела.

Эта методика позволила получать результаты оценок ГРВ с обработкой данных на компьютере в автоматическом режиме по многофакторной программе. Результат компьютер выдавал в виде диаграмм. Из этих диаграмм можно рассчитать уровень S-излучений в децибелах, как произведение 10 на отношение десятичных логарифмов средних значений текущего и базового значений S-излучений в пикселях.

## 2.2 Экспериментальное подтверждение способности напряжённой материи генерировать S-излучения

Ниже представлены диаграммы влияния S-излучений, которые генерирует напряжённая материя, на площадь электрического разряда в приборе, полученные путём обработки на компьютере показаний прибора по многофакторной математической программе,

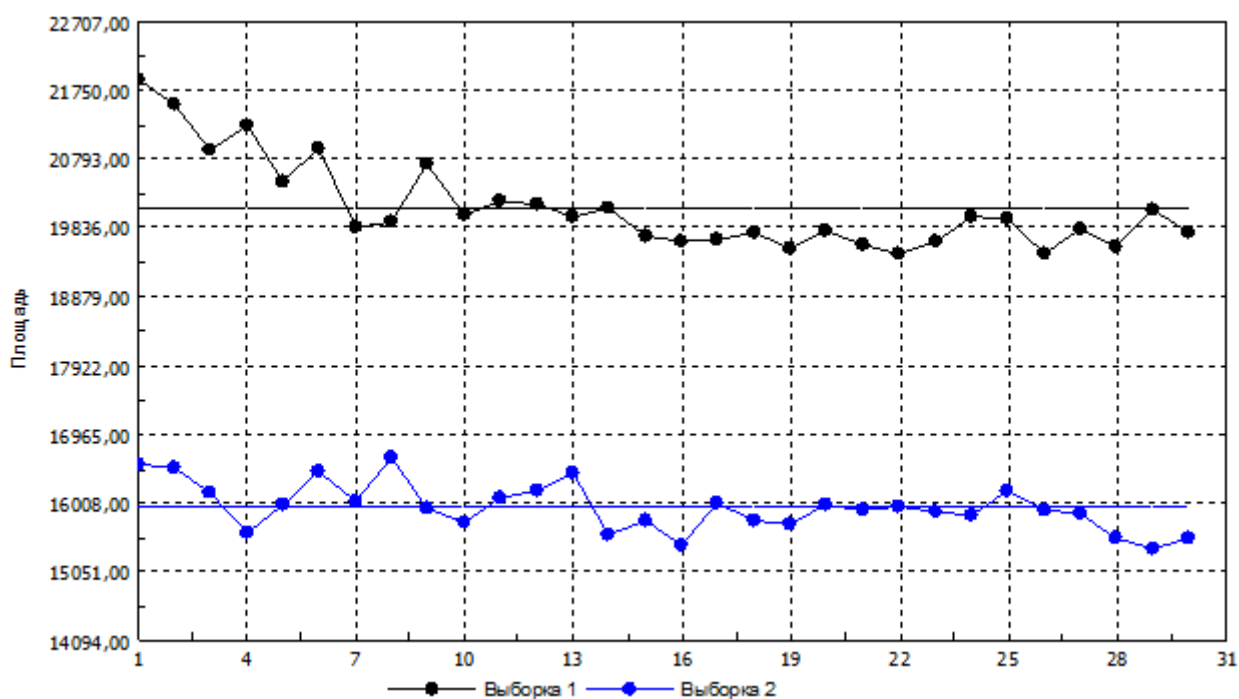


Рис. 1 Изменение площади газового разряда в приборе ГРВ–камера при сжатии в тисках деревянной линейки

Где: выборка 1 – заостренная деревянная линейка зафиксирована в тисках (без сжатия);  
выборка 2 – линейка сжата в тисках.

Представленные на рис. 1 диаграммы свидетельствуют, что в результате сжатия деревянной линейки, её материя генерирует S-излучения, которые выходят из её заострения.

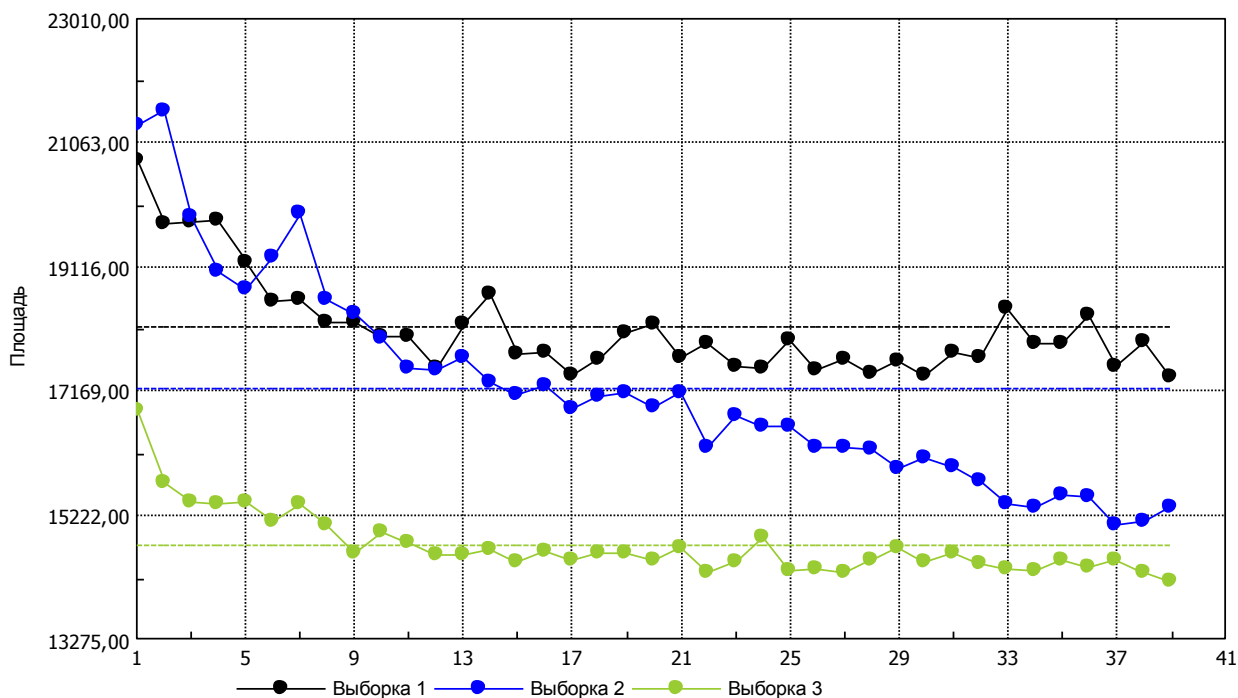


Рис. 2 Изменение площади электрического разряда в зависимости от числа напряжённых пластин из бериллиевой бронзы

Где: выборка 1 – фон S-излучений в здании; выборка 2 – S-излучения, которые генерирует материя одной изогнутой и заневоленной в таком состоянии пластины из бериллиевой бронзы; выборка 3 – то же для двух пластин.

Представленные на рис.2 диаграммы свидетельствуют, что изгиб пластин из бериллиевой бронзы порождает напряжения в её материи, в результате которых она генерирует S-излучения.

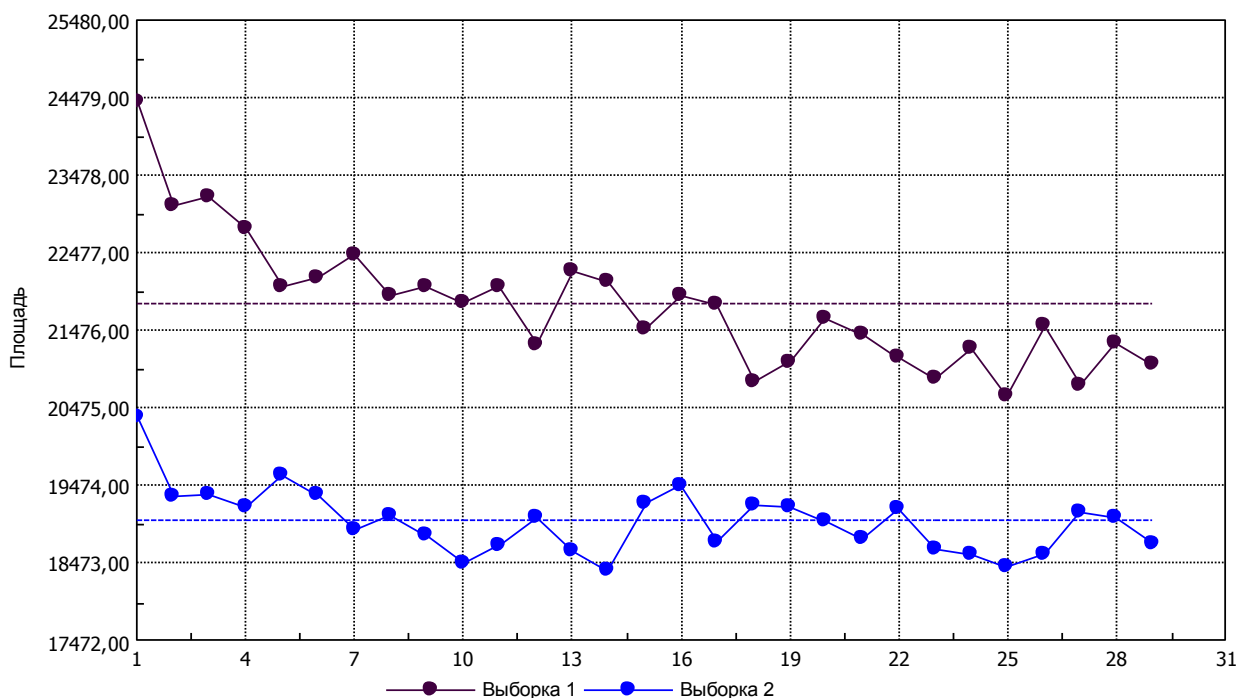


Рис. 3 Изменение площади электрического разряда в приборе под воздействием S-излучений, которые генерирует материя стальной стамески

Где: выборка 1 - стамеска зафиксирована в тисках (не сжата); выборка 2 – стамеска зажата в лабораторных тисках

Из этих диаграмм следует, что при сжатии в тисках стальной стамески, её материя генерирует S-излучения, воздействие которых снижает площадь электрического разряда в приборе. Эти и другие результаты наших исследований свидетельствуют, что любая напряжённая материя генерируют S-излучения.

### 2.3. Физика происхождения S-излучений и сенсорных ощущений человека

Из диаграмм на рис. 1 и 2 следует, что при деформации деревянной линейки и пластин из бериллиевой бронзы, их материя генерирует S-излучения. Генерирует их и стальная стамеска, не смотря на то, что момент сжатия её в настольных тисках, не способен вызвать даже самую незначительную деформацию закалённой стали стамески.

Поэтому, чтобы понять природу возникновения S-излучений в стамеске, мысленно представим себе материю с максимально возможным увеличением. При этом, в соответствии с современными представлениями о материи, [1], окажется, что внутри материи ничего нет. Там пустота, ничтожный объём которой заполняют атомы, а всё остальное пространство занимают потоки заряжённых элементарных частиц, движение которых, согласно законам электродинамики, образует КЭМП материи. Это КЭМП занимает материю всей стамески и даже выходит за его пределы. При этом оно, как и любое электромагнитное поле, имеет упругость. Материя тисков также обладает упругим КЭМП, поэтому при сжатии в тисках, ещё до деформации материи стамески, происходит деформация её КЭМП. В результате чего из него, через наиболее слабое место этого поля, которым является лезвие стамески, поток электромагнитной энергии выходит из него в виде S-излучений.



По этой же причине, при сжатии деревянной линейки её КЭМП генерирует S-излучения. Однако, в отличие от материи стамески, в линейке происходит также деформация древесины. При изгибе платин из берилиевой бронзы её КЭМП также генерирует S-излучения, которые, ввиду отсутствия в пластинах заострения, не столь концентрированные.

Ввиду того, что, наряду с приборами мы использовали также сенсорные ощущения экспертов, рассмотрим физику их возникновения в ладони человека на предмет правомерности применения этих ощущений в исследованиях. Для этого мы провели тестирование студентов Одесского национального медицинского университета. При этом оказалось, что из 100 студентов только 15% проявляли высокую чувствительность в ладони к S-излучениям, ещё 65% ощущали их, но в меньшей степени. Остальные 20% заявили, что ничего не ощущали. Впрочем, в Одессе существуют учебные курсы, на которых такие ощущения развивают у любого человека.

Физика сенсорных ощущений основана на том, что S-излучения состоят из электромагнитных энергий, образованных потоками заряженных элементарных частиц, которые являются основой любой материи. Поэтому их воздействие на человека обуславливает изменения в материи его организма на уровне энергий элементарных частиц, из которых он состоит. В зависимости от индивидуальной восприимчивости, человек ощущает S-излучений кожным покровом ладони в виде покалываний, тепла или холода. При этом, если своевременно не убрать ладонь из потока S-излучений, то в области живота возникают достаточно сильные болевые ощущения. Длительное же воздействие S-излучений, обуславливает, как и от воздействия ГИ, органические изменения в материи организма и, как следствие, тяжёлые заболевания.

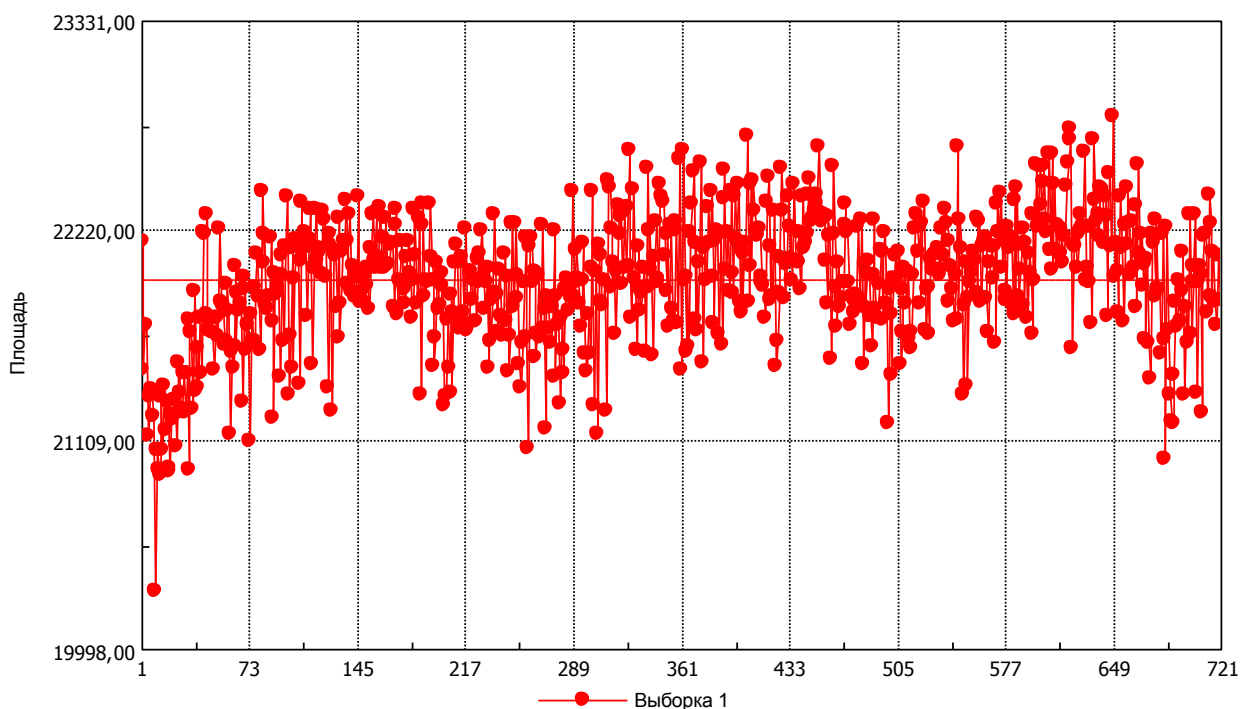
Поэтому сенсорные ощущения S-излучений являются нормальным человеческим чувством, которое сообщает организму об опасности и его правомерно, но осторожно, применять в некоторых видах физических исследований.

#### **2.4. Происхождение космических S-излучений, в том числе и ГИ**

Напряжённая материя в природе присутствует повсеместно, но в наибольшем количестве S-излучения генерирует Земля в виде ГИ, которые выходят из-под земли и, сквозь все перекрытия многоэтажных зданий, уходят ввысь. В ладонях экспертов ГИ вызывают такие же ощущения, как S-излучения. Кроме того, ГИ, как и S-излучения, свободно проходят сквозь любую материю. Сенсорно мы обнаружили, что генерируют S-излучения также Солнце, Луна и ближайшие планеты Солнечной системы, о чём учёным неизвестно.

Вместе с тем, доказать происхождение космических S-излучений и ГИ предельно просто. Для этого достаточно лишь абстрагироваться и вспомнить, что любая напряжённая материя генерирует S-излучения, а все небесные тела находятся на своих орбитах только потому, что их там удерживают силы космической гравитации. Под воздействием этих, и других сил, материя этих тел испытывает напряжения, в результате чего КЭМП этой материи испытывает деформацию и генерирует потоки квантовой электромагнитной энергии, которые и являются космическими S-излучениями. Земля, как

и любое космическое тело, находится в таких же условиях, поэтому также генерирует S-излучения, которые известны как ГИ. Это и есть доказательство физики и происхождения ГИ и космических S-излучений. Получено нами и приборное подтверждение существование ГИ, которое показано на рис. 4.



**Рис. 4** Диаграмма влияния энергий ГИ на площадь электрических разрядов в приборе ГРВ-компакт в течение 24 часов (интервал между разрядами -2 минуты)

Минимальный разброс площадей электрических разрядов в этой диаграмме свидетельствует о существовании энергий ГИ. Волновой характер их изменения обусловлен изменением в напряжённой материи Земли в результате движения Луны по орбите.

## 2.5 Техногенные S-излучения

Раскрыть их происхождение помог случай. Однажды мой приятель, д.м.н. Бородулин С.Д., соорудил из деревянных реек каркасную пирамиду и попросил меня оценить её энергетику. Пирамида была высотой 2 метра и имела такие же пропорции, как и Египетские пирамиды.

Сенсорное обследование показало, что пространство между рёбрами каждой из трёх сторон пирамиды заполнило упругое поле S-излучений, толщина которого составляла 40-50 см. Однако в четвёртой стороне поле отсутствовало. Причина оказалась в том, что рейка, которая обрамляла нижнюю часть этой стороны, оказалась короче, чем следовало, поэтому образовался зазор шириной 6-7 см в её обрамлении. После устранения зазора, в этой стороне пирамиды возникло такое же поле, как и в остальных трёх. Из этого стало понятно, что поле в сторонах пирамиды образуются в результате пересечения их потоками ГИ, т.е. земными S-излучениями. Пересекая каждую из сторон пирамиды, они наводят в рейках, которые обрамляют стороны пирамиды, потоки S-излучений,

циркуляция которых и обуславливает появление в сторонах пирамиды поля S-излучений. Следовательно, на S-излучения распространяется действие закона электромагнитной индукции Фарадея.

Это позволило выдвинуть гипотезу о том, что любая электрическая машина, которая имеет ротор и статор, является генератором S-излучений. Обусловлено это тем, что при вращении ротора возникают центробежные силы, в результате которых происходит деформация КЭМП его материи, вследствие чего образуются потоки S-излучений. Они пересекают обмотки статора и индуцируют в них потоки аналогичных S-излучений. По этой причине генераторы электростанций вместе с электрическим током вырабатывает также S-излучения, которые вместе с ним передаются по электрическим сетям на любые расстояния. Но ввиду того, что приборов для их регистрации не существует, то это свойство электрических машин науке неизвестно.

Для проверки этой гипотезы мы заменили штатный ротор в асинхронном электродвигателе мощностью 1 кВт на другой. Он состоял из обечайки, внутри которой находились пакеты из изогнутых и заневоленных в таком состоянии пластин из бериллиевой бронзы, вследствие чего они постоянно генерировали S-излучения, [8]. С помощью электрического привода мы придали этому ротору вращение, в результате чего его S-излучения стали пересекать обмотки статора и наводить в них потоки S-излучений. Поэтому подключение нагрузки к клеммам этого, (теперь уже генератора S-излучений), обусловило образование замкнутого контура для движения потоков S-излучений.

С помощью этого генератора мы открыли многие свойства S-излучений. В частности, установили, что они реагируют на полупроводники и конденсаторы так же, как электрический ток. Но, при подходящих условиях, S-излучения отделяются от электрического тока и выходят в окружающую среду в виде устойчивого одноименного поля, [8].

Эти свойства свидетельствуют о том, что S-излучения, которые присутствуют в электрической сети, преобразуются в устройствах сотовой связи и в другой высокочастотной технике, в высокочастотные S-излучения. В составе радиоволн они, в соответствии со свойствами S-излучений, они выходят из антенн сотовой связи загрязняют окружающую среду высокочастотными полями S-излучений.

Для проверки этого вывода мы провели эксперимент по нейтрализации S-излучений в рабочей станции сотовой связи, результат которого представлен на рис. 6. Эта станция была установлена на верхнем этаже здания завода «Промсвязь» в Одессе, к которой подключены антенны сотовой связи, установленные над крышей этого здания.

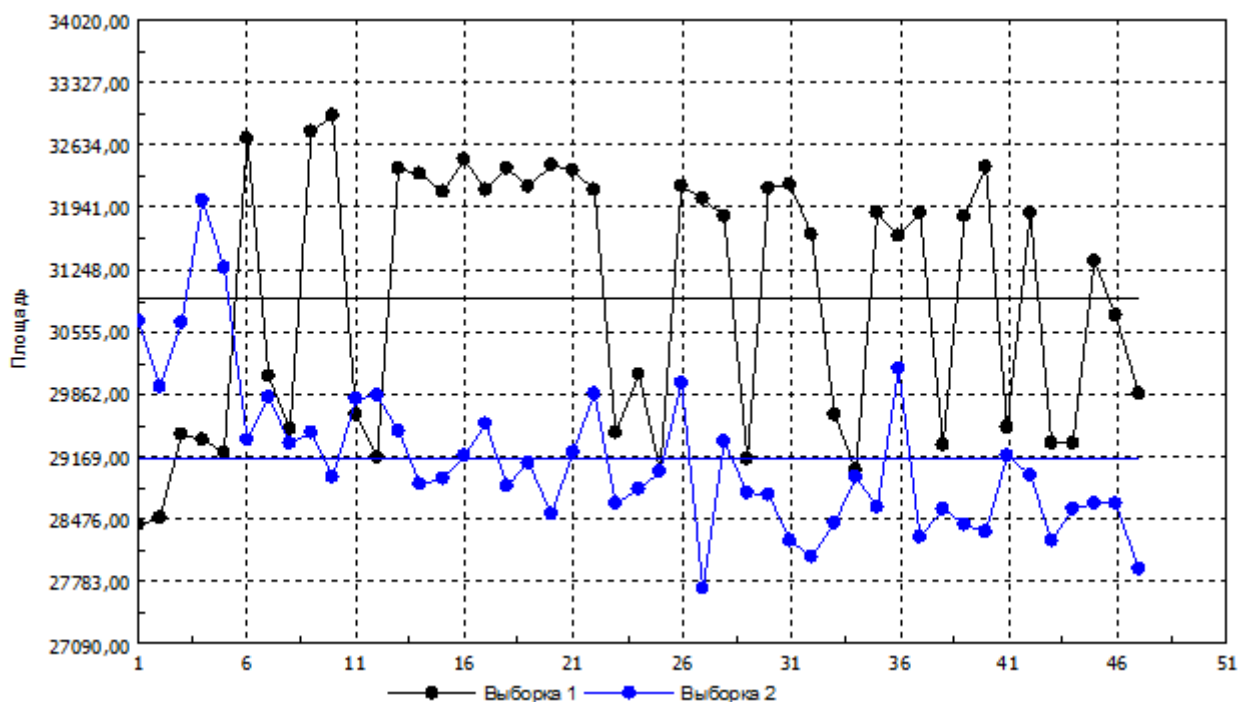


Рис.5 Влияние подключения нейтрализатора S-излучений к сети 220/380В на клеммы рабочей станции сотовой связи на уровень S-излучений, которые генерируют антенны сотовой связи

Где: выборка 1 – S-излучения, которые генерирует антенна сотовой связи после подключения нейтрализатора; выборка 2 – S-излучения, которые генерирует антенна сотовой связи без нейтрализатора

Из диаграмм на рис 5 следует, что антенны сотовой связи генерируют в окружающую среду мощные S-излучения (выборка 2). Однако, при подключении нейтрализатора S-излучения к электрической сети станции, влияние S-излучений, которые генерирует антенна, на площадь газового разряда в приборе, снизилось (выборка 1). Эта диаграмма свидетельствует, что антенны сотовой связи генерируют S-излучения, которые можно нейтрализовать таким образом. Разброс приведенных данных обусловлен тем, что специально для этого эксперимента мы не разрабатывали нейтрализатор S-излучений, а использовали разработанный для других целей. Тем не менее, диаграммы, приведенные на рис. 6 свидетельствуют, что антенны сотовой связи генерируют S-излучения, которые загрязняют окружающую среду.

В бытовые холодильники S-излучения поступают вместе с электрическим током, при этом их дополнительно вырабатывает также холодильный агрегат. Эти S-излучения проходят сквозь стенки холодильника и упаковку и впитываются в продукты. Для оценки их влияния на вкусовые качества продуктов были проведены межведомственные сравнительные испытания продуктов, которые хранились в двух холодильниках, к одному из которых было подключено наше устройство. Заключение всех 4-х комиссий, каждая из которых состояла из 10 квалифицированных дегустаторов, показали, что подключение к холодильнику устройства, которое нейтрализует S-излучения, улучшает вкус хранящихся в нём продуктов почти в 3 раза по сравнению с такими же продуктами из контрольного

холодильника, [9]. Влияние потребления продуктов, которые насыщены S-излучениями в холодильнике, мы не проводили. Но исследователи давно установили, что под воздействием ГИ возникают различные заболевания, [6]. При этом происхождение ГИ и S-излучения имеет одинаковую природу, поэтому потребление продуктов их холодильников определённо способствует возникновению заболеваний.

По этой же причине любая физиотерапевтическая и массажная техника, а также компьютеры, мобильные телефоны, телевизоры и т.п. генерируют S-излучения, не только загрязняют ими окружающую среду, но и обуславливают возникновение заболеваний.

## **2.6 Свойства S-излучений**

Исследования, проведенные, в том числе и с помощью нашего генератора SC-излучений, позволили открыть многие их свойства. Ниже приведены лишь некоторые из них, которые имеют отношение к теме статьи:

2.6.1. S-излучения являются разновидностью электромагнитной энергией, которую не регистрируют существующие в электротехнике приборы;

2.6.2. S-излучения способны переносить в своём составе тепло, а также информацию, которая влияет на состояние материи (здоровья человека), [10];

2.6.2. S-излучения взаимодействуют с полем постоянного магнита, который увлекает их в кругооборот, по типу магнитных силовых линий, но отстоит он от магнита на гораздо большем расстоянии, чем магнитные силовые линии.

2.6.3. Присутствия в электрической сети S-излучений обуславливает то, что в процессе намагничивания магнитных материалов образуется постоянный магнит, который имеет не только общеизвестное магнитное поле, но и КЭМП. При этом эти поля существуют параллельно и независимо друг от друга.

## **2.8. Физика сил гравитационного взаимодействия**

Выше было показано, что любая материя обладает КЭМП. Вместе с тем, Вселенная заполнена материей как видимой, так и тёмной, доля которой составляет 95%, [11]. При этом установлено, что скорость распространения гравитации близка к бесконечной, [12]. Из этого следует, что все КЭМП материи Вселенной объединены в единое упругое квантовое электромагнитное поле. В этом случае гравитация передаётся мгновенно, примерно так же, как вода в водопроводных кранах появляется одновременно с включением задвижки на насосной станции, которая находится за сотню километров от города. С той разницей, что в нашем случае по Вселенной передаются волны квантовой электромагнитной энергии, которые воспринимают упругие КЭМП её материи. Поэтому, в энергетическом плане, Вселенная представляет собой единый организм, в котором гравитация передаётся за счёт упругости её КЭМП, а её скорость вполне может исчисляться миллионами световых лет.

Что касается происхождения сил гравитации, то, судя по тому, что основой КЭМП является движение элементарных частиц материи, силы эти ничем не отличаются от тех

сил, которые удерживают материю вместе. При этом носителями сил гравитации являются встречные потоки электромагнитной (квантовой) энергии между телами.

Так, например, широко известно, что к кожному покрову многих людей словно прилипают ложки, утюги и другие изделия, изготовленные из немагнитных материалов. Физики никак это не комментируют. Но в свете наличия у материально тела КЭМП, становится ясно, что в данном случае происходит взаимодействие КЭМП тела человека и КЭМП предмета, которое притягивает эти предметы. Это и есть проявление сил гравитации в микро масштабе. Небесные тела имеют гораздо более мощные КЭМП, поэтому и притяжение между ними оказывается гораздо сильнее.

Это общее объяснение физики сил гравитации, которое укладывается в рамки закона Кулона. Тем не менее, оно даёт понятие о принципе работы летательных аппаратов типа НЛО, в которых используются силы гравитации, что позволяет приступить к проектированию летательных аппаратов с использованием этих сил.

При этом причина по которой гравитация работает только на притяжение тел, станет ясна после того, как квантовая механика разберётся с теорией механизма взаимодействия заряженных элементарных частиц, который обеспечивает целостность материи.

## **2.7 Энергоинформационные поля и их происхождение**

Осенью 2002 г. мы сенсорно обнаружили далеко в Космосе область, которая резко выделялась на фоне ночного своими S-излучениями. Она быстро росла и летом 2003 года прибыла на Землю в виде огромнейшего ЭИП. По прибытию, основная часть ЭИП ушла на Север. Но вблизи Одессы от него отделилось три поля по 10 км в диаметре и высотой 1,5 км. Вскоре они разделились на ЭИП, диаметр которых не превышал 1,5 км. Через месяц и эти поля разделились на более мелкие ЭИП, диаметр которых не превышал 30 метров, которые гроздьями и вполне целенаправленно разлетались в разные стороны по всей Евразии и, предположительно, по всей Земле. Они зависала у антенн сотовой связи на расстоянии 40-50 метров и тонкими лучами поглощали из них S-излучения. При этом они не забывали лучами поглощать сквозь любые перекрытия зданий S-излучения из людей и бытовой техники. Мощность этой поглощения была тогда такова, что у многих она вызывала головокружение. Но поглощение эту люди не ощущали, а укрыться от ЭИП не было никакой возможности. [7,13]

Тогда же мы установили, что если в сторону ЭИП, которое висит над домом, мысленно произнести фразу: «Тебя нет, не существует, рассейся», то оно мгновенно улетало. Поэтому мы пришли к выводу, что ЭИП являются невидимой высокоорганизованной формой внеклеточной жизни. Эту фразу мы записали на магнитофон и с тех пор применяем её трансляцию для очистки здания от ЭИП.

Прибытие ЭИП на Землю ознаменовалось тем, что в течение августа 2003 года в Париже и на Севере Италии, погибло свыше 70 тыс. человек. По ТВ тогда показывали, как трупы людей на улицах Парижа собирали в грузовики. Но наука решила, что погибли они от 40 градусной жары, которая стояла в это время. Причина гибели этих людей – сердечно сосудистая недостаточность. Однако свойства ЭИП дают основание полагать,

что гибель людей наступила из-за абсорбции из них энергий. Жара лишь расслабила людей, что позволило ЭИП, которые в то время имели диаметр 1,5 км, без предела абсорбировать из них энергии, что и явилось причиной сердечнососудистой недостаточности. Но трагедией эта массовая гибель людей не стала, т.к. погибли в основном малоимущие слои общества.

К концу 2004 г. ЭИП опустились из атмосферы и оккупировали здания и транспорт. С тех пор и настоящее время человечество живёт в среде этого поля, которое абсорбирует из них энергии, из-за чего многие люди тогда жаловались на нарушение сна и головокружение. Но, постепенно эта абсорбция стала дозированной и состояние людей стабилизировалось. Позднее ЭИП слились с ГИ, откуда они абсорбируют энергии, в результате чего фокус луча ГИ, т.е. наиболее интенсивная его часть, исчезла. При этом уровень энергии ГИ стал неотличим от фона здания, который в результате этой оккупации, повысился. Сейчас эту оккупацию легко обнаружить с помощью биолокационной рамки и упомянутой выше аудиозаписи. Дело в том, что после оккупации, рамка перестала реагировать на ГИ и с её помощью теперь невозможно определять месторасположения ГИ. Ранее, до появления на Земле ЭИП, рамка вела себя следующим образом: при приближении её к лучу ГИ она отклонялась в одну из сторон. В момент пересечения центра луча, рамка отклонялась в противоположную сторону. При пересечении границы луча, рамка возвращалась в исходное состояние.

Теперь же, вследствие наличия в здании ЭИП, при приближении рамки к лучу ГИ, она отклоняется только в одну из сторон и остаётся в таком положении постоянно.

Однако, если здание очистить от ЭИП с помощью трансляции отпугивающей записи, то биолокационная рамка сразу же начинает работать как до оккупации здания ЭИП. Это и свидетельствует о наличии в здании ЭИП.

Установить факт оккупации ЭИП здания можно также с помощью прибора ГРВ-компакт. Так, на рис 7 приведена диаграмма, которая подтверждает факт оккупацию ЭИП здания. Для этого нами была применена очистка здания путём трансляция отпугивающей записи и оценка прибором ГРВ-компакт уровня энергий ЭИП и ГИ.

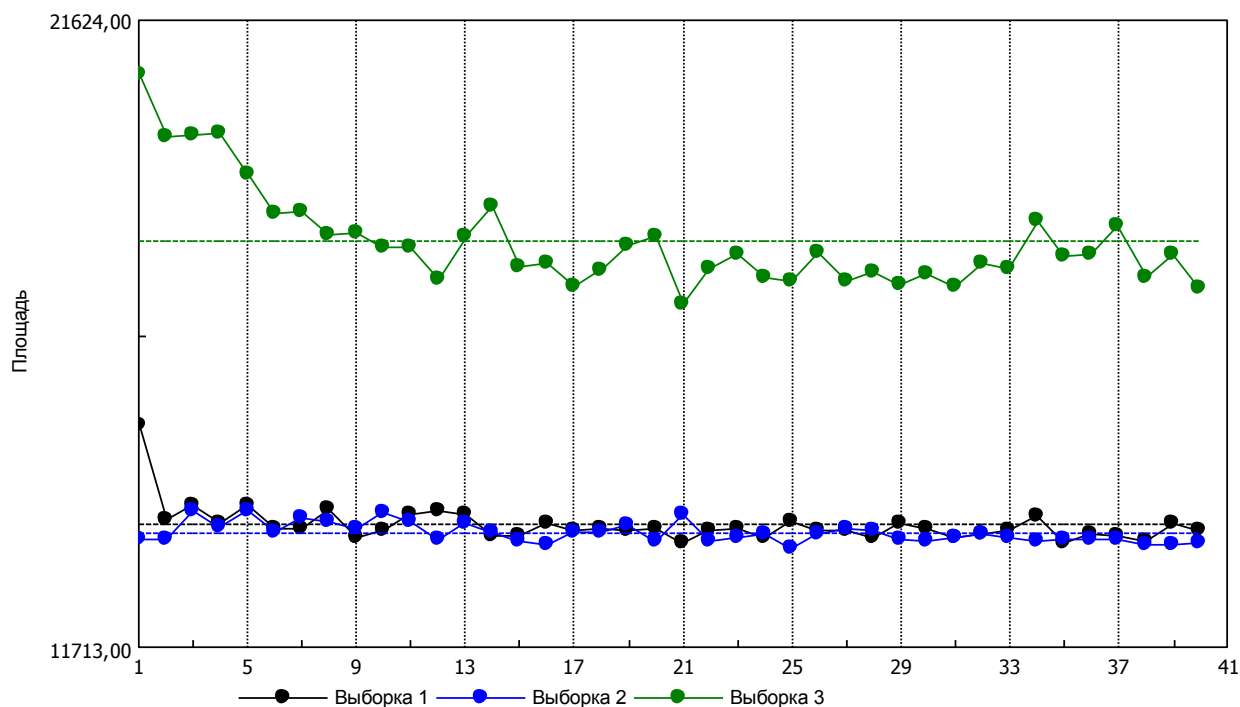


Рис. 6 Влияние очистки здания от ЭИП и ГИ на фон S-излучений в здании

Где: выборка 1 – уровень фона здания и ГИ до очистки от ЭИП;

выборка 2 – уровень ГИ после очистки здания от ЭИП;

выборка 3 – уровень фона здания после очистки от ЭИП.

Из диаграмм на рис. 6 следует, что до очистки здания от ЭИП, фон его S-излучений (выборка 1), сливался с ГИ. Однако, после очистки здания от ЭИП произошло резкое снижение уровня фона здания, в результате чего его энергетика улучшается (выборка 3), но при этом уровень ГИ остался без изменений (выборка 2).

Эта диаграмма свидетельствует, что здание было оккупировано ЭИП, которые поглощали энергии из ГИ. Поэтому уровень фона здания увеличился, а окружающая среда в здании стала неблагоприятной для человека. После очистки здания от ЭИП влияние фона здания на площадь электрического разряда снизилась, что свидетельствует о том, что в нём отсутствуют ЭИП, а окружающая среда стала благоприятной для человека.

До прибытия ЭИП уровень активности Солнца был очень высокий. Однако к осени 2003 он снизился до беспрецедентно низкого уровня и с тех пор до настоящего времени остаётся неизменным. При этом, согласно данным НАСА, 24-й солнечный цикл становится самым слабым за последние 100 лет, [14]. Следовательно, ЭИП оккупировало не только Землю, но и Солнце.

## 2.8. Последствия, которые обусловила оккупация ЭИП Земли и Солнца

### 2.8.1. Изменения на Солнце



После 2003 года активность Солнца резко снизилась и с тех пор остаётся на беспрецедентно низком уровне, что констатируют учёные и высказывают на этот счёт мрачные прогнозы.

Вместе с тем, мы сенсорно установили, что после 2003 года корона Солнца начала генерировать кольцевые волны солнечных S-излучений, в составе которых присутствует высокотемпературное глубинное солнечное тепло. Вплоть до 2016 года эти волны шли с частотой 6 волн в минуту и достигали Земли за 30 секунд. То есть их скорость превышала скорость света 16,7 раза. Однако замеры, проведенные 2 апреля 2017 года, показали, что скорость этих волн резко снизилась, и уже не превышает скорость света, а ширина фронта волны увеличился в несколько раз. При этом на всём расстоянии от Солнца до Земли расположено 3 волны, фронт каждой из которых примерно равен расстоянию между волнами, а температура солнечного тепла, которое они переносят, снизилась в несколько раз и стала едва ощутимой.

Информацию эту я не комментирую, в надежде, что специалисты-солнечники дадут ей оценку на предмет связи этих волн с ускорением таяния полярного льда. Если потребуется, то такого рода наблюдения можно осуществлять с помощью прибора, по приведенной в статье методике.

## **2.8.2. Влияние ЭИП на глобальные изменения на Земле**

2.8.2.1. Состояние здоровья людей. Наши наблюдения свидетельствуют, что условия жизни для людей на Земле с момента прибытия ЭИП ухудшились, потому что появились автономные ЭИП, диаметром 15-20 см. Они обладают свойством отсасывать из человека жизненно важные для него энергии, что способно вызвать сильные боли в любом органе, либо сонливость и ухудшение общего самочувствия. Поэтому и растёт число раковых и сердечно-сосудистых заболеваний. Кроме того, немало людей ощущает в постели холод и болезненные поражения кожи. Однако, если прогнать это ЭИП, то эти ощущения сразу же проходят.

2.8.2.2. Таяние полярного льда. Выше упоминалось, что ЭИП отсасывают энергии из ГИ. При этом, наши исследования показали, что постоянный магнит имеет свойство создавать из S-излучений поле, которое имеет свойство отражать потоки аналогичных энергий, (п. 2.6.3). С учётом того, что постоянный магнит наука принимает как модель магнитного поля Земли, становится ясно, что магнитное поле Земли в верхних слоях атмосферы формирует из энергий ГИ слой, который отражает космические S-излучения. Следовательно, отсос ЭИП энергий из ГИ обуславливает дефицит этих энергий в защитном слое Земли. Поэтому его отражательная способность снижается, в результате чего космические S-излучения проходят сквозь этот слой. Однако магнитное поле Земли захватывает их и прокачивает сквозь полюса планеты. По этой причине вблизи полюсов планеты повысилась концентрация космических S-излучений и стала примерно такой, как в пирамиде А.Голода. В этой пирамиде, вследствие того, что она, по сути, является ловушкой для ГИ, [10], растёт концентрация S-излучений, поэтому вода теряет свойство замерзать в любые морозы, [15]. По этой причине тает полярный лёд, что отражается на глобальном климате, а также повышается уровень мирового океана.

2.8.2.3. Рост числа землетрясений и взрывов вулканов. Мы разработали метод поиска углеводородов (УВ) по космическим снимкам в спектре S-излучений. Он позволил обнаружить вблизи полюсов Земли гигантские месторождения УВ, в которых происходит синтез УВ из морской воды под воздействием космических S-излучений. Из этих месторождений выходят вертикальные глубинные разломы земной коры, по которым, как по тоннелям, мигрируют к экватору колоссальные объёмы УВ. По пути они пересекают все известные месторождения УВ, а также сейсмически опасные зоны и вулканы. При этом УВ глубоко проникают в трещиноватые горные породы, где их нагревает тепло Земли, что создаёт условия для преобразования УВ во взрывчатые вещества. Их взрывы и обуславливают рост числа землетрясений и взрывов вулканов, в том числе растёт активность Йеллоустонского вулкана, который подпитывает сразу 19 тоннелей с УВ. В то время, как в обычные вулканы УВ мигрируют по 1-3 тоннелям.

Из изложенного выше можно сделать вывод о том, что прибытие ЭИП обусловило многие бедствия.

## **2.9. Что привлекло ЭИП на Землю и на Солнце?**

Такой вопрос возник сам собой, потому что в составе только нашей галактики имеется от 200 до 400 миллиардов звёзд, а Солнечная система находится на её периферии. Поэтому вероятность того, что ЭИП могло случайно прилететь на Земле и Солнце, ничтожно мала. Следовательно, его к нам что-то привлекло. Поэтому мы провели небольшое расследование.

ЭИП прибыло в район Одесского залива, с другой стороны которого, в г. Евпатория, находится радиостанция дальней космической связи. Поэтому мы обратились к руководству этой радиостанции с вопросом – транслировала ли радиостанция сигналы в район созвездия Волопаса, где мы впервые обнаружили ЭИП. Нам ответили, что действительно, в эту область Космоса эта радиостанция 2 раза, по заказу одной американской фирмы, которая финансировала трансляцию с призывом откликнуться братьям по разуму. Первая трансляция состоялась в 2001 году, а вторая в мае 2003, перед самым прибытием ЭИП.

Таким образом, стало понятно, что сигналы этой радиостанции служили маяком для ЭИП, на который и прилетели эти «братья по разуму». По сообщению SETI, эта фирма вскоре вышла из бизнеса.

Судя по нашим наблюдениям, на Земле ЭИП ничего, кроме отсоса энергий, не интересуется. В контакты оно не вступает, но мысли человека понимает. Целью их не является уничтожение человечества, потому что, судя по событиям в Париже, оно могло его уничтожить ещё в 2003 году. Однако, деятельность ЭИП, которая происходит на квантовом уровне материи, вызывает изменение природных условий на Земле, вплоть до катастрофических.

## **2.10. Актуальность астрономических наблюдений в спектре S-излучений**

Как выше было доказано, все небесные тела генерируют космические S-излучения, что указывает на целесообразность астрономических наблюдений в этом спектре. В

первую очередь это позволит своевременно выявлять приближение объектов, которые невозможно наблюдать визуально и существующими приборами. Наглядный пример тому оккупация Земли и Солнца ЭИП.

Кроме того, мы обнаружили, что, начиная со середины февраля 2017 в г. Одесса, Украина, сразу после захода Солнца, из Космоса, с Запада (азимут 250 градусов) возникает поток S-излучений неизвестно происхождения, который идёт вначале под углом 30-35 градусов к горизонту. Постепенно этот источник S-излучений поднимается над горизонтом и к 7 утра оказывается в зените. При этом азимут его не изменяется. Следовательно, источник этот находится на орбите Земли и генерирует мощные S-излучениями, которые способны оказывать негативные влияния на здоровье людей.

Координаты этого объекта в спектре S-излучений легко определить, что, возможно, позволит принять соответствующие меры безопасности. Например, если этот объект окажется новым ЭИП, то его вполне можно прогнать путём трансляцией информации в спектре S-излучений, которая заставит его убраться восвояси.

В спектре S-излучений можно также наблюдать за известными небесными телами. Например, мы провели оценку уровня S-излучений, которые генерируют звезды Бетельгейзе и Поллукс, а также Луна. Результаты этих измерений показаны на рис. 7

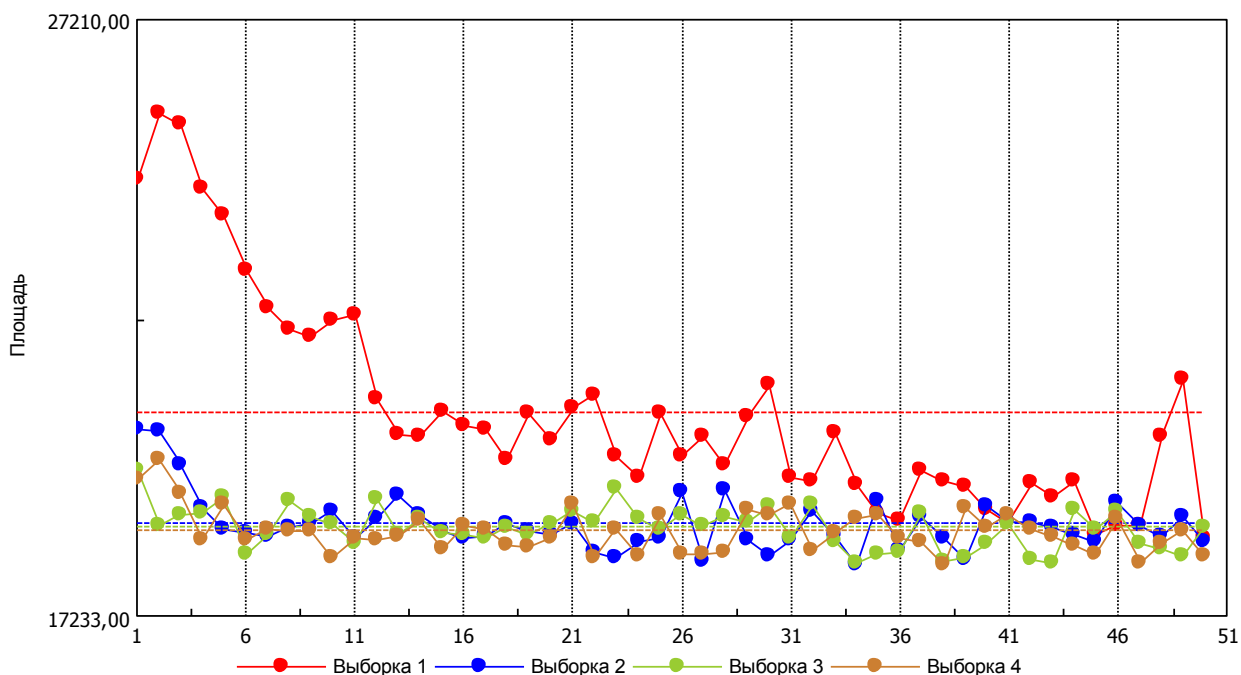


Рис. 7. Диаграммы влияния S-излучений, которые исходят из небесных тел, на площадь электрического разряда в приборе с интервалом 3 сек

Где показаны выборки: 1 - Район созвездия Овна, который выбран был в качестве фона; 2 – звезда Бетельгейзе; 3- звезда Поллукс; 4 – Луна.

При выборе объектов для оценки мы руководствовались следующим:

1. Район созвездия Овна, был принят в качестве базового фона, в виду того, что там относительно мало видимых крупных звёзд;
2. Астрономы встревожены тем, что гигантская звезда Бетельгейзе, расстояние до которой составляет 620 тыс. световых лет, взорвалась, или вскоре взорвётся, что может представлять опасность для человечества.
3. Выбор звезды Поллукс, которая находится от Земли на расстоянии 33,7 светового года, обусловлен тем, это одна из самых ярких звёзд, которые были видны во время измерений.
4. Луна – тем, что в это время было полнолуние, когда уровень её S-излучений максимальный.

Из этих диаграмм следует также, что уровень S-излучений, которые генерируют эти небесные тела одинаковый, не смотря на большие различия в мощности и в расстоянии до Земли. Вместе с тем, судя по ощущениям в ладони, от звезды Бетельгейзе идут сильнейшие S-излучения, фон от которых занимал примерно 70 градусов небосклона, в то время как фон от остальных небесных тел – не более 5 градусов. Это подтверждает высказанное ранее утверждение о том, что в атмосфере существует слой, который отражает и нивелирует уровень космических S-излучений.

Поэтому точные наблюдения в спектре S-излучений следует осуществлять из Космоса.

### **Заключение**

Приведенные в статье экспериментальные доказательства существования в материи КЭМП позволили:

1. раскрыть физику происхождения сил гравитационного взаимодействия, что позволяет приступить к проектированию летательных аппаратов типа НЛО;
2. установить происхождение геопатогенных излучений и космических S-излучений;
3. раскрыть, что только ликвидация на основе стандартов выброса из техники S-излучений позволит остановить дальнейшее ухудшение здоровья людей, экологии, климата, уменьшить число землетрясений и взрывов вулканов;
4. показать, что главную опасность для здоровья людей в Космосе представляют техногенные и космические S-излучения, от которых их необходимо защищать;
5. доказать существование спектра S-излучений, астрономические наблюдения в котором позволяют наблюдать за тёмными энергиями и тёмными материями, что позволит своевременно выявлять угрозы для человечества, которые невозможно установить иными методами наблюдений;
6. понять, что трансляции радиостанций дальней космической связи откликнуться братьям по разуму способны привлечь формы жизни, которые способны уничтожить человечество

**Благодарности.** Автор выражает признательность астрономам, докторам физико-математических наук В.Г. Каретникову. и Я.С.Яцкиву за содействию в

наблюдениях за ЭИП и замечания, которые были учтены при подготовке этой статьи.

## Литература

1. Hilbert D. Die Grundlagen der Physik // Nachrichten K. Gesellschaft Wiss. Gottingen, Math.-phys. Klasse, 1915, Heft 3, S. 395
2. Визгин В. П. Единые теории в 1-й трети XX в. М.: Наука, 1985. — 304с.
3. Moffat, J. W. (2005a) Gravitational theory, galaxy rotation curves and cosmology without dark matter, [http://arxiv.org/PS\\_cache/qr-qg/pdf/0412/0412195.pdf](http://arxiv.org/PS_cache/qr-qg/pdf/0412/0412195.pdf)
4. Ландау Л. Д., Лифшиц Е. М. Теоретическая физика: Учеб. пособ.: Для вузов. В 10 т. Т. 2 Теория поля. — 8-е изд., стереот. — М.: ФИЗМАТЛИТ, 2001. — 536 с
5. Электромагнетизм. Основные законы, Иродов И. Е. (2014)
6. Дубров А.П. Земные излучения и здоровье человека. Аргументы и факты. Москва, 1992, 57 стр.
7. В.Г. Корниенко. Причина изменения климата и способы её устранения// Тезисы докладов Всемирной конференции по изменению климата. Москва, 29 сент.-3 окт.2003, с. 509(Ru).
8. В.Г. Корниенко. S-излучения мобильных телефонов // Эниология. № 4 2005. с.81-86.
9. В.Г.Корниенко, I.H. Красновский, С.М.Кудашов. К вопросу улучшения вкуса продуктов, хранящихся в холодильниках//Молочное дело №7 2007 стр. 22-25
10. В.Корниенко. Излучения, вызывающие заболевания. Изд-во Киевского ун-та, 2002.(148 стр.)
11. Решетников В. Почему небо тёмное. Как устроена Вселенная. Глава 2.5. Скрытая масса во Вселенной. — Фрязино: Век 2, 2012.
12. P. S. Laplace Mecanique celeste, 4, livre X Paris, 1805.
13. Корниенко В.Г. Экологическая катастрофа, обусловленная ростом внеклеточных.//Гигиена населённых мест. Институт гигиены и медицинской экологии им. О.М.Марзеева Академии медицинских наук Украины. Выпуск 46. 2005. с.547-554.
14. О солнечной активности <http://www.vseneprostotak.ru/2011/06/nasa-u-solntsa-padenie-solnechnoy-aktivnosti/>
15. Почему вода в пирамиде А.Голода не замерзает? <https://otvet.mail.ru/question/187551682>